2 6 4 П В В 6 6 Г Д О К Л А Д Ы

LVIII, № 5 1974

Խմբաօբական կոլեցիա

է, Գ. ԱՖՐԻԿՏԱՆ, կերարանական գիտությունների դոկտու-, Ա. Թ. ՔԱԲԱՏԱՆ,
ՀՍՍՀ ԳԱ ակադեմիկոս, Ա. Ա. ԹԱՀԱՀՃԱՆ, ՀՍՍՀ ԳԱ թղթակից-անդամ, Վ. Մ.
ԹԱՌԱՏԱՆ, ՀՍՍՀ ԳԱ թղթակից-անդամ,
Վ. Հ. ՀԱՄԲԱՐՉՈՒՄՅԱՆ, ակառեւ՚իկոս, Վ. Հ.
ՎԱԶԱՐՏԱՆ, ՀՍՍՀ ԳԱ թույակից-անդամ (պատ. խմբագեհ տեղակալ), Ս. ՄԻՐՋՈՏԱՆ, ՀՍՍՀ ԳԱ թղթակից-անդամ, Ս. Ս.
ՄԿՐՏՉՏԱՆ , ՀՍՍՀ ԳԱ ակադեմիկոս, Ա. Գ.
ՆԱԶԱՐՈՎ, ՀՍՍՀ ԳԱ ակադեմիկոս (պատխմբադի-), Օ. Մ. ՍԱՊՈՆՋՏԱՆ, ՀՍՍՀ ԳԱ
թղթակից-անդամ, Մ. Լ. ՏԵՐ-ՄԻՔԱՑԾԼՅԱՆ.
ՀՍՍՀ ԳԱ թղթակից-անդամ.

Редакционная коллогия

В А АМБАРЦУМЯН, академик, Э Г АФРИКЯН, доктор биологических наук. А. Т. БАБАЯН, академик АН АрмССР, В. О. КАЗАРЯН, чл-корр. АН АрмССР (зам. отв. редактора), С. А. МИРЗОЯН, чл-корр. АН АрмССР, С. С. МКРТЧЯН, вкадемик АН АрмССР, А. Г. НАЗАРОВ, академик АН АрмССР (отв. редактор), О. М. САПОНДЖЯН, чл-корр. АН АрмССР, А. А. ТАЛАЛЯН, чл-корр. АН АрмССР, В. М. ТАРАЯН, чл-корр. АН АрмССР, М. Л. ТЕР-МИКАЕЛЯН, чл-корр. АН АрмССР, М. Л. ТЕР-МИКАЕЛЯН, чл-корр. АН Арм. ССР

P # 4 # 4 # 4 # 4 # 4 # 5 # 5 # 5 # 5

HI In	USP	It to	h bal	11.1	Hill
L CU	421	(EU		4411	11418

Գ. Լ. Արեչյան—Բարախող հոսահրով միաֆազ ինդուֆաորային զեներատորների կայունացված պրոդնաների տեսությունը	257
Singlified.	
վ. Պ. Պետոսայան, Ու. Բուպելտ — Խերթին Ճեշումը պոլիմերներում	2G;
OPPHILIUME PHUIL	
II Թ Բաբայան, Կ. Ծ. Թահմազյան, Ա. Ի. Իսֆիև, Ռ. Ս. Մկոտչյան, Գ. Հ. Թուսայան—Դիալկիլալլիլ (կամ պրոպարգիլ) 2.4-պենտադիներիլ (կամ «-ֆուրիլմերիլ) ամանիական ազձրի ներմոլձկուլային օղակավորման մեխանիզմը	275
4hSrnarushu	
Ռ. Հ. Խոբենյան—Գեղարոտի ինտրուգիայի երկրաբանության շարցի չուրջը .	285
TO THE POPULATION OF THE POPUL	
ոտացված սֆալերիտենրում կապարի առկայության ձևի մասին	290
4bbbsh4ll	
Վ. Ա. Ավաղյան, Ա. Հ. Մուշաղյան— <i>Ցորննի պոլիպլոից շարթի ռադիացիոն վնաս-</i> վածթի ժողիֆիկացումը կոֆնինով - , , , , , ,	294
ԱԳՐՈՍԳԵՐԵՎՈՒԹԱՐԱՆՈՒԹՅՈՒՆ	
it. II, II կոտշյան, Շ. II. հետատամյան—Հացամատիկային կուլտուրաների բեր- թատվության երկարաժամկետ կանխորոշման մեթողը Հայկական ՍՍՀ պայմաններում	199
คแคลแ <mark>ธกา ราวการแน</mark>	
Վ. Հ. Ղազաբյան, Ա. Ա. Գասպաբյան, Ա. Հ. Արբահամյան— Եգիպտացորների ցածրահասակ և բարձրահասակ սորտերի անման մի ցանի առանձնահատարությունների մասին	303

СОДЕРЖАНИЕ

ЭЛЕКТРОМЕХАНИКА	
Г. Л. Арешян—Теорня установившихся процессов однофазных индукторных генераторов с пульсирующим потоком	
Ф11311КА	
С. П. Петросян, У Руппельт—О внутреннем давлении в полимерах С. А. Агабалян, Г. А. Галечян, С. И. Петросян—Страты в контрагирован- ном положительном стол е в продольном потоке телия	
ОРГАНИЧЕСКАЯ ХИМИЯ	
А. Т. Бабаян, К. Ц. Тагмазян, А. И. Ноффе, Р. С. Мяртчян, Г. О. Торо- сян—К механизму внутримолекулярной циклизации бромаллилатов и пропарти- латов диалкил-2,4-пентадиенил «фурилметил) аминов	273 2MI
ПЕТГОГРАФИЯ	
Р А. Хоренян - К геслогии Гехаротского интрузива	285
LEOXIMHS	
Си С Мкртчян—Некоторые представления о форме нахождения свинца в сфалерите, полученном методом гидротермального синтеза .	290
ГЕНЕТИКА	
В. А Авакан, А 1 Марилин-Модификация лучевого поражения поли- плондного руда паленицы—мафейном , , ,	294
АГРОМЕТЕОРОЛОГИЯ	
Р С. Мкртчян, Ш. 1, Арустамян—Метод долгосрочного прогноза урожай- ности зерновых культур в Армянской ССР	299
ФИЗИОЛОГИЯ РАСТЕНИЯ	
В О. Казирям, А. А. Гаспирям, А. Г. Абрамян—О некоторых особенностях роста высокорослого и пизипрослого сортов кукурузы	303
Содержание LVIII томи	309

CONTENTS p. **ELECTROME: HANICS** G. In Ar thien - Theory of the stated processes of uniphase pulsating-257 PHYSICS 207 V. P. Petrosian, W Rapper About Interior pressure in polymers . . . S. A. Agahabtan, G. A. Ga en an, S. I. Petrostan -Stratification of the 271 constricted polition column in the 'ongitudinal lieltum flow - - -ORGANIC CHEMISTRY A. T. Biha'an, K. T.: Tuhmisian, A. I. loffe, R. S. Mkrtchian, Q.O. Torosian-The mechanism of the intramolecular cyclication of the bromaillate and 275 B. Z. Gruorkian, V. T. Aleksanian - The formation of complexes of oxygencontaining cyclic compounds with the molecular chlorine at low temperatures 280 PETROGRAPHY R. H. Chorenian—On the geology of Gegharot intrusives 285 GEOCHEMISTRY . Sv; S. Mkrtchian-Some Ideas on the occurrence form of lead in splislettle received by the method of hydrothemalsynthesis GENETICS V. A. Avaklan. A. H. Muratlan - The modification by caffeine of the rad-294 AGROMETEOROLOGY R. S. Mkrtchiun. Sh. A. Arustamian-Method of long-term yield capacity 209 PLANT PHYSIOLOGY V. O. Kazartan, A. A. Gaspartan, A. G. Abram an -On some peculiarities 303 Гахинческий редактор Л. А. АЗИЗБЕКЯН ВФ 05232 Подписано к печати 30.VIII.1974 г. Тираж 550 Изд. 4131. Заказ 345 Формат бумагн 70×1081/16 Печ. л. 4,0, Бум. л. 2. Усл печ л. 5,6. Уч изд. листов 4,58

2USUUUU UU2 9PSNPPSNPUUDPP UUUTBUPUSP 9DUNPSSUUI ДОКЛАДЫ АКАДЕМИИ НАУК АРМЯНСКОЯ ССР LVIII

УДК 621.313.30

ЭЛЕКТРОМЕХАНИКА

Г. Л. Арешян

Теория установившихся процессов однофазных индукторных генераторов с пульсирующим потоком

(Представлено вкадемиком АН Армянской ССР А. Г. Иосифьяном 6/IV 1974)

1. Основная система уравнений мос. Система дифференциальных уравнений электрических цепей однофазных индукторных генераторов с пульсирующим потоком представима в виде:

$$\frac{d\psi_{0}}{dt} + r_{u} i_{u} = u_{u}$$

$$\frac{d\psi_{c}}{dt} + (r_{c} + r_{u})i_{c} + L_{u} \frac{di_{c}}{dt} + \frac{1}{c_{u}} \int_{-\infty}^{t} i_{c} dt = 0$$

$$\frac{d\psi_{a}}{dt} + r_{a} i_{a} = 0,$$
(1)

где: I_n , I_n , I_n ($\alpha = B$, C, D)—потокосцепления, токи и активные сопротивления обмоток возбуждения (ОВ), силовой (ОС) и демиферной (ОД); I_n , I_n , I_n , I_n , I_n параметры внешней нагрузки ОС:

Выразим потокосцепления через магнитные потоки

$$\psi = \psi \circ \varphi \circ (z = B, C, A), \tag{2}$$

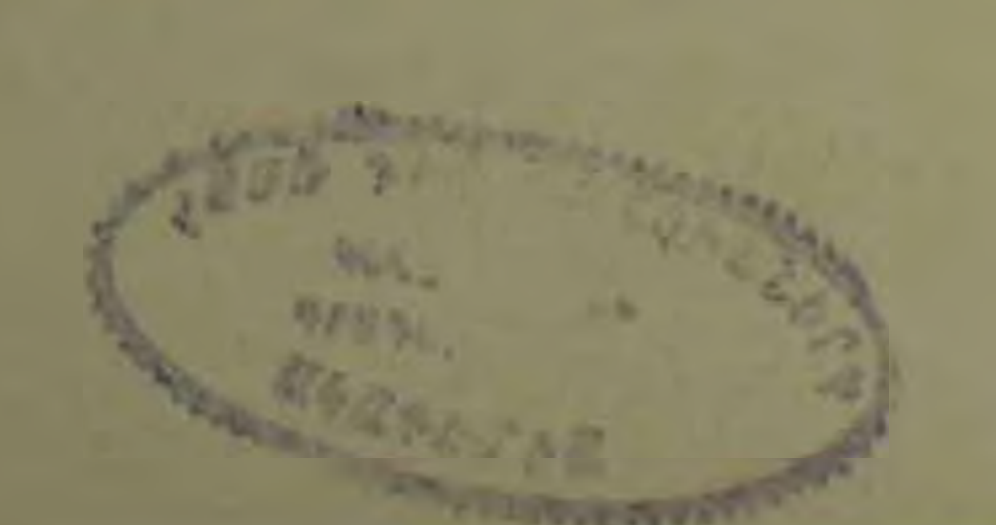
а магнитные потоки через магнитные проводимости и токи (или мдс):

$$\varphi_{\alpha} = \sum_{\beta} \lambda_{\alpha\beta} w_{\beta} \, i_{\beta} = \sum_{\beta} \lambda_{\alpha\beta} f_{\beta} \qquad (\alpha, \beta = B, C, A). \tag{3}$$

Для рассматриваемых генераторов проводимости равны:

$$\lambda_{n,n} = \lambda_{n,30} + \sum_{m=1}^{3} \lambda_{m,m} \cos m\gamma$$
 (α , $\beta = B$, C , A), (4)

где γ -угол положения ротора относительно статора и при постоянной скорости вращения $\gamma = \omega_1 + \omega_2$. Примем начало отсчета времени в момент, когда ось зубца ротора совиндает с осью зубца статора в зоне, которая охвачена катушкой ОС. Тогда $\gamma_0 = 0$ и $\gamma = \omega_1 t$. Поставим



задачу: не прибегая к прямому решению диффуравнений (1), получить для установившихся процессов, алгебранческую систему уравнений мдс, которая даст возможность определить мдс (токи) во всех трех обмотках с точностью до высших гармонических мде порядка соответствующего порядку высших гармонических магнитных проводимостей (см. ур. (4)). Из экспериментов известно, что в машинах рассматриваемого типа, в установившихся режимах во всех трех обмотках нмеется целый спектор гармоник токов, причем некоторые гармоники (при неблагоприятном сочетании параметров машины) по величине могут достигать относительно значительных величин. Поэтому разработка аналитических методов их расчета крайне необходима. В работах, посвященных теории однофазных индукторных машин, были предложены графо-аналитические (векторные диапраммы) и чисто аналитические методы расчета токов этих машин (1-4). Однако задача в таком полном объеме, в каком она сформулирована выше, не ставилась и не решалась.

Приступим к решению сформулированной задачи. Зададим токи в установившемся режиме выражениями:

$$i_{n}(t) = I_{n0} + \sum_{v=1}^{s} I_{n}^{d} \cos v \gamma + \sum_{v=1}^{s} I_{n}^{q} \sin v \gamma$$

$$(t) = \sum_{i=1}^{s} I_{i}^{d} \cos v \gamma + \sum_{v=1}^{s} I_{cv}^{q} \sin v \gamma$$

$$I_{n}(t) = \sum_{i=1}^{s} I_{i}^{d} \cos v \gamma + \sum_{v=1}^{s} I_{i}^{q} \sin v \gamma$$

$$\gamma = \omega_{1} t.$$

В дальнейшем косинусные амплитуды мдс, потоков и т. д. везде будут снабжаться верхним индексом «d», а синусные—индексом «q». Подставляя в выражения для магнитных потоков уравнения (3) значения проводимостей по уравнению (4) и значения токов по уравнению (5), получаем после перемножения, выражения для амплитуд потоков (постоянные составляющие магнитных потоков не выписываем): от постоянной составляющей мдс ОВ $f_{no} = w_n I_{no}$

$$\Phi_{\text{mino}}^{d} = h_{\text{min}} f_{\text{mo}}$$
 (6)
(2 = в, с, д; $v = 1, 2, \ldots s$)

от косинусных гармоник мдс порядка "n" $F^d=w$. I^d

$$\Phi_{n,n}^{J} = 0.5(\lambda_{n\beta, n-\nu} + \lambda_{n\beta, n+\nu})F_{\beta n}^{J}$$

при $n \neq 0.$
 $\Phi_{n\gamma\beta n}^{J} = (\lambda_{n\beta 0} + 0.5)$

при $\nu = n$

(7)

(2,
$$\beta = B$$
, c, Δ ; $\nu = 1, 2, \ldots s$)

от синусных гармоник мдс порядка $n'' F'' = w_1 I_2''$

$$\Phi_{\alpha_1\beta_n}^q = (\lambda_{\alpha\beta_0} - 0.5 \lambda_{\alpha\beta_n}) F_{\beta_n}^q \text{ при } v \neq n, n \neq 0$$

$$\Phi_{\alpha_1\beta_n}^q = (\lambda_{\alpha\beta_0} - 0.5 \lambda_{\alpha\beta_n}) F_{\beta_n}^q \text{ при } v = n.$$

$$(a, \beta = a, c, \pi; v = 1, 2, \dots s).$$
(8)

Нижние индексы при амплитудах магнитных потоков обозначают: первый индекс «—обмотку, в которой существует этот поток; второй у—порядок гармоники потока; третий —обмотку, мдс которой вызывает этот поток; четвертый n—порядок гармоники мдс.

В уравнениях (7) и (8) должны выдерживаться следующие правила по индексам k = n указывающие порядок гармоник проводимостей:

при
$$k < 0$$
 = (9)
при $k = 0$ $\lambda_{\alpha\beta,k} = 0$

Введем столбцовые матрицы амплитуд мдс и потоков

$$F_{\alpha}^{s} = (F_{\alpha 1}^{s} F_{\alpha 2}^{s} \dots F_{\alpha n}^{s} \dots F_{\alpha n}^{s})$$

$$\Phi_{\alpha}^{s} = (\Phi_{\alpha 1}^{s} \Phi_{\alpha 2}^{s} \dots \Phi_{\alpha n}^{s} \dots \Phi_{\alpha n}^{s})$$

$$(a = b, c, \mu; \sigma = d, q)$$

$$(10)$$

Тогда на основе (6)—(8), матрицы амплитуд магнитных потоков будут равны: для обмотки возбуждения

$$\Phi_{0}^{d} = B_{0} f_{00} + D_{00}F^{d} + D_{00}F^{d} + D_{00}F^{d}$$

$$\Phi_{0}^{q} = Q_{00}F^{q} + Q_{00}F^{d} + Q_{$$

для силовой обмотки

$$\Phi_{c}^{d} = B_{c} f_{ab} + D_{ca} F_{a}^{d} + D_{cc} F_{a}^{d} + D_{ca} F_{a}^{d}$$

$$\Phi_{c}^{d} = Q_{ca} F_{a}^{d} + Q_{cc} F_{c}^{d} + Q_{ca} F_{a}^{d}$$
(12)

для демпферной обмотки

$$\Phi_{A}^{q} = B_{A} I_{mn} + D_{m} F_{m}^{q} + D_{m} F_{m}^{q} + D_{m} F_{m}^{q} + D_{m} F_{m}^{q}$$

$$\Phi_{A}^{q} = Q_{A0} F_{0}^{q} + Q_{A0} F_{m}^{q} + Q_{A0} F_{m}^{q} + Q_{A1} F_{A}^{q}$$

$$(13)$$

В уравнениях (11)—(13) соответствующие матрицы проводимостей рявны: при мдс $f_{\rm no}$ —столбцовые матрицы

$$B_{\bullet} = (\lambda_{aa1} \ \lambda_{aa2} \ \ldots \ \lambda_{aas}) \quad (\alpha = a, c, \pi)$$
 (14)

при матрице мдс Га-квадратные матрицы

$$D = \| d_{\alpha,\beta nk} \|_{1}^{s} \quad (\alpha, \beta = B, c, \Lambda)$$

$$d_{\alpha\beta, nk} = 0.5(\lambda_{\alpha\beta, k-n} + \lambda_{\alpha\beta, n}) \quad \text{при } n \neq k$$

$$d_{\alpha,nn} = \lambda_{\alpha\beta0} + 0.5\lambda_{\alpha\beta, 2n} \qquad \text{при } n = k$$
(15)

при матрице мдс F_{2}^{q} -квадратные матрицы

$$Q_{\alpha\beta} = \| q_{\alpha\beta, nk} \|_{1}^{3} \quad (\alpha, \beta = B, c, \Lambda)$$

$$q_{\alpha\beta, nk} = 0.5(\lambda_{\alpha\beta, n-k} - \lambda_{\alpha\beta, n+k}) \quad \text{при } n \neq k$$

$$q_{\alpha\beta, nn} = \lambda_{\alpha\beta0} - 0.5(\lambda_{\alpha\beta, 2n} - B) \quad \text{при } n = k \quad (16)$$

Для того, чтобы в матричной форме записать временные значения гармоник магнитных потоков, млс и токов, вводим диагональные матрицы косинусов и синусов

$$k(\gamma) = |\cos \gamma \cos 2\gamma \dots \cos s\gamma|, \quad S(\gamma) = |\sin \gamma \sin 2\gamma \dots \sin s\gamma|. \quad (17)$$

Учитывая, что $\gamma = \omega_1 t$ будем пользоваться так же выражениями $k(t) = k(\gamma)$, $S(t) = S(\gamma)$. Тогда эти матрицы подчиняются следующим зависимостям

$$\frac{dk(t)}{dt} = -2s(t); \qquad \frac{ds(t)}{dt} = 2k(t)$$

$$\int k(t)dt = \Omega^{-1}s(t); \qquad \int s(t)dt = -\Omega^{-1}k(t), \qquad (18)$$

где через 2 обозначена днагональная матрица частот

$$\Omega = \{\omega_1 \ \omega_2 \ \omega_3 \ \ldots \ \omega_S\}, \qquad \omega_s = v\omega_1. \tag{19}$$

Кроме того легко убедиться, что рассматриваемые матрицы перестановочны друг относительно друга

$$\Omega k = k\Omega \qquad \Omega s = s\Omega \tag{20}$$

Временные значения магнитных потоков запишем в виде (см. ур. (11) ÷ (13) и (17))

$$\varphi_{\alpha}^{d}(t) = k(t)\Phi_{\alpha}^{d} \quad \varphi_{\alpha}^{q}(t) = s(t)\Phi_{\alpha}^{q}$$

$$(21)$$

$$(\alpha = 8, c, \pi).$$

Полное значение магнитного потокоцепления обмоток (без постоянных составляющих) будет:

$$\psi_{\alpha}(t) = w_{\alpha} \varphi_{\alpha}^{d}(t) + w_{\alpha} \varphi_{\alpha}^{q}(t) \quad (\alpha = B, C, A). \tag{22}$$

Гармоники токов записанные в матричной форме выраженные через мдс будут равны:

$$i_*(t) = w_a^{-1}k(t)F_a^d + w^{-1}s(t)F_a^d$$
 (2=8, c, π). (23)

Выражения 🦫 (t) по ур. (22) н l₂ (t) по ур. (23) введем в систему

диффуравнений (1) для получения искомого основного уравнения мдс.

Учитывая свойства матриц k(t) и s(t) (см. ур. (18)), на основе уравнений (21) и (22), получим

$$\frac{d\psi_{a}}{dt} = -w_{a} \Omega s(t) \Phi_{a}^{d} + w_{a} \Omega R(t) \Phi_{a}^{q} \qquad (z = a, c, \pi)$$
 (24)

На основе тех же свойств, с учетом ур. (23), будем иметь:

$$L_{\parallel} \frac{di}{dt} = -\frac{L_{\parallel}}{w_{c}} \Omega s(t) F_{c}^{d} + \frac{L_{\parallel}}{w_{c}} \Omega k(t) F_{c}^{q}$$

$$\frac{1}{c_{\parallel}} \int l_{c} dt = \frac{1}{w_{c}} \Omega^{-1} s(t) F_{c}^{d} - \frac{1}{w_{c}} \Omega^{-1} k(t) F_{c}^{q}$$
(25)

Подставляя выражения (23), (24) и (25) в систему (1) и выделяя слагаемые, независящие от времени, слагаемые, содержащие синусы, и наконец, слагаемые, содержащие косинусы и приравнивая каждую такую группу слагаемых нулю, получаем (напряжение $U_{\rm H}$, приложенное к ОВ не зависит от времени):

для цепей ОВ

$$\frac{r_{u}}{w_{u}}f_{u0}=U_{u}, \qquad -w_{u} \ \Omega \Phi_{u}^{d} + \frac{r_{u}}{w_{u}}F_{u}^{q}=0, \qquad w_{u} \ \Omega \Phi_{u}^{q} + \frac{r_{c}}{w_{u}}F_{u}^{d}=0. \tag{26}$$

для цепей ОС

$$-w_{c} \Omega \Phi^{d} + \frac{r_{c} + r_{n}}{w_{c}} F^{q}_{c} - \frac{L_{n}}{w_{c}} \Omega F^{q}_{c} + \frac{1}{w_{c}} \Omega^{-1} F^{d}_{c} = 0$$

$$w_{c} \Omega \Phi^{d} + \frac{r_{c} + r_{n}}{w_{c}} F^{d}_{c} + \frac{L_{n}}{w_{c}} \Omega F^{q}_{c} - \frac{1}{w_{c}} \Omega^{-1} F^{q}_{c} = 0$$

$$(27)$$

для ценей ОД

$$-w_{A} \, \Omega \Phi^{d} + \frac{r_{A}}{w_{A}} F^{q} = 0, \qquad w_{A} \, \Omega \Phi^{q} + \frac{1}{w_{A}} F^{q} = 0. \tag{28}$$

Уравнения (26) т (28) выписаны без матриц синусов и косинусов, так как эти матрицы с учетом уравнения (20) могут быть в соответствующих уравнениях выведены за общие скобки. В этих же уравнениях в правых частях стоят столбцовые нулевые матрицы. Для более компактной записи уравнений (26)—(28), введем новые днагональные матрицы проводимостей, которые овязаны с магнитными потоками, эде которых компенсирует падение электрического потенциала на активных сопротивлениях обмоток и нагрузки

$$G_{\alpha} = \frac{r_{\alpha}}{w_{\alpha}^{2}} \Omega^{-1} = \frac{r_{\alpha}}{w_{\alpha}^{2}} \left\{ \frac{1}{\omega_{1}} \frac{1}{\omega_{2}} \dots \frac{1}{\omega_{S}} \right\} (\alpha = B, C, A)$$

$$G_{cn} = \frac{r_{n}}{w_{c}^{2}} \Omega^{-1} = \frac{r_{n}}{w_{c}^{2}} \left\{ \frac{1}{\omega_{1}} \frac{1}{\omega_{2}} \dots \frac{1}{\omega_{S}} \right\}.$$
(29)

Кроме того, введем диагональную магрицу проводимостей для учета эффектов емкостной нагрузки

$$H_{c} = \Omega^{-1}\Omega^{-1} \frac{1}{w_{c}^{2}c_{n}} = \frac{1}{w_{c}^{2}c_{n}} \left\{ \frac{1}{\omega_{1}^{2}} \frac{1}{\omega_{2}^{2}} \dots \frac{1}{\omega_{s}^{2}} \right\}. \tag{30}$$

Наконец вводим скалярную проводимость магинтных потоков нидужтивной нагрузки

$$\lambda_{\text{cen}} = \frac{L_n}{w_c^2}.$$
 (31)

Тогда уравнения (26)—(28), с учетом уравнений (29)—(31), примут вид:

для цепей ОВ

$$\Phi_{n}^{d} - G_{n} F_{n} = 0 \qquad \Phi_{n}^{d} + G_{n} F_{n}^{d} = 0 \qquad (32)$$

для цепей ОС

$$\Phi_{c}^{d} - G_{c} F_{c} - G_{cH} F^{q} - H_{c} F_{c} + \dots F_{d} = 0$$

$$\Phi_{c}^{q} + G_{c} F_{c}^{d} + G_{cH} F_{c}^{d} - H_{c} F_{c} + \dots F_{d} = 0$$
(33)

для цепей ОД

$$\Phi^{d} - G = 0 \qquad \Phi^{q} + G_{a} F^{q} = 0. \tag{34}$$

В уравнении (32) не выписано уравнение для постоянных слагаемых. Система уравнений (32)—(34) получена на основе исходной системы диффуравнений (1) и должна быть решена совместно с независимой системой уравнений (11)—(13). Решая совместно эти системы (в систему (32)—(34) подставляем значение матриц магнитных потоков по уравнениям (11)—(13)), получаем для мдс:

группу уравнений, содержащих f_{no}

$$B_{n} f_{n0} + D_{nn} F_{n}^{d} + D_{nc} F_{n}^{d} + D_{nc} F_{n}^{d} + D_{nc} F_{n}^{d} = 0$$

$$B_{n} f_{n0} + D_{nn} F_{n}^{d} + D_{nc} F_{n}^{d} + D_{nc} F_{n}^{d} + D_{nc} F_{n}^{d} = 0$$

$$B_{n} f_{n0} + D_{nn} F_{n}^{d} + D_{nc} F_{n}^{d} + D_{nc} F_{n}^{d} + D_{nc} F_{n}^{d} = 0$$
(35)

и группу уравнений без ƒып

$$Q_{nn}F_{n}^{q} + Q_{nc}F_{c}^{q} + Q_{ns}F_{s}^{q} + G_{n}F_{n}^{d} = 0$$

$$Q_{cn}F_{n}^{q} + Q_{cc}F_{c}^{q} + Q_{cs}F_{s}^{q} + Q_{cs}F_{s}^{q} + G_{s}F_{s}^{d} = 0$$

$$Q_{nn}F_{n}^{q} + Q_{nc}F_{c}^{q} + Q_{ns}F_{s}^{q} + G_{s}F_{s}^{q} = 0$$

$$Q_{nn}F_{n}^{q} + Q_{nc}F_{c}^{q} + Q_{ns}F_{s}^{q} + G_{s}F_{s}^{q} = 0$$
(36)

В уравнения (35) и (36) вледены матрицы

$$D_{cc}^{\,n} = D_{cc} - H_c + \lambda_{ccn} E, \qquad G_c^{\,n} = G_c + G_{cn}$$

$$Q_{cc}^{\,n} = Q_{cc} - H_c + \lambda_{ccn} E,$$
(37)

которые учитывают проводимости самой машины и подключенной нагрузки (E—единичная матрица).

Вводя блочные матрицы, получаем основную систему мдс, записанную в матричной форме

$$DF^{q} - GF^{q} = -Bf_{to}$$

$$GF^{q} + QF^{q} = 0,$$
(38)

где блочные матрицы равны:

$$F^{d} = \begin{bmatrix} F_{n}^{d} \\ F_{n}^{d} \\ F_{n}^{d} \end{bmatrix} \quad F^{q} = \begin{bmatrix} F_{n}^{q} \\ F_{n}^{q} \\ F_{n}^{d} \end{bmatrix} \quad B = \begin{bmatrix} B_{n} \\ B_{n} \\ B_{n} \end{bmatrix} \quad G = \begin{bmatrix} G_{n} & 0 & 0 \\ 0 & G_{n}^{n} & 0 \\ 0 & 0 & G_{n}^{n} \end{bmatrix}$$

$$D = \begin{bmatrix} D_{nn} & D_{nc} & D_{nn} \\ D_{cn} & D_{nc}^{n} & D_{cn} \\ D_{nn} & D_{nc} & D_{nn} \end{bmatrix} \quad Q = \begin{bmatrix} Q_{nn} & Q_{nc} & Q_{nn} \\ Q_{cn} & Q_{nn}^{n} & Q_{cn} \\ Q_{nn} & Q_{nc} & Q_{nn} \\ Q_{nn} & Q_{nc} & Q_{nn} \end{bmatrix}$$

$$(39)$$

Поскольку в системе (38) матрицы D, Q, G и B полностью определяются амплитудами гармоник проводимостей L_m (m=0, 1, 2, ..., s) уравнения (4), параметрами нагрузки r_n , L_n , c_n и активными сопротивлениями обмоток r_n , то для данного типа машины и заданного нагрузочного режима все эти матрицы могут быть вычислены заранее. Величина f_m определяется по независимому уравнению (см. первое ур. в системе (26)):

$$f_{nn}=w_n\frac{u_n}{r_n}$$
.

Поэтому основная система мдс, заданная уравнением (38) и полученная в силу уравнений (1)—(4), является системой алгебранческих уравнений с 6s неизвестными (в каждой обмотке 2s неизвестных) и решение этой системы определяет амплитуды мдс всех гармоник (включительно амплитуды гармоник порядка s) для всех трех обмоток машины. Тем самым, сформулированная в начале статьи задача решена. Заметим, что в случае отсутствия демпферной обмотки, основная система уравнений мдс формально остается той же самой, но порядок матриц уменьшается, и число неизвестных становится равным 4s.

Интересно отметить, что мдс (токи) с индексом d можно назвать продольными мдс (токами), а с индексом q —поперечными (3). Действительно, если рассмотреть случай идеального режима короткого замыкания на зажимах силовой обмотки, когда ($r_0 = 0$, $L_0 = 0$, $c_0 = \infty$ и $r_0 = r_0 = r_0 = 0$), то при этих условиях матрица $G \equiv 0$ и из уравнения (38) сразу следует, что

$$F^{q}=0$$
, $F^{nl}=-D^{-1}Bf_{no}$.

11. Матрицы иктивных и индуктивных сопротивлений. Основная система мдс (38) дает возможность рассчитать весь спектор амилитуд продольных и поперечных мдс (токов) во всех обмотках, не используя понятия активных и индуктивных сопротивлений и не прибегая к построению векторных диаграмм. Однако в обычных теориях электрических машин, общепринято определять активные индуктивные сопротивления, которые используются для построения схем замещения и векторных диаграмм. Поэтому представляет практический и теоретический интерес получение выражений активных и индуктивных сопротивлений исследуемого класса машин.

Поскольку в рассматриваемых машинах существует целый спектор продольных и поперечных токов, а следовательно и магнитных потоков, то в этих машинах, естественно, имеется и целый спектор эдс. Поэтому заранее можно утверждать, что в таких машинах должны существовать матрицы активных и индуктивных сопротивлений. Для введения понятия таких матриц будем исходить из следующих общих положений. Представим комплексную матрицу эдс в виде

$$\dot{E} = E^{q} + jE^{d} = -Z^{q}I^{q} - Z^{d}(jI^{d})$$

$$Z^{q} = R^{q} + jX^{q} \quad Z^{d} = R^{d} + jX^{d}$$
(40)

В уравнении (40) матрица комплексного тока принята равной $I=I^q+I^d$, где $J=\sqrt{-1}$, а Z^q и Z^d- являются матрицами комплексных поперечных и продольных сопротивлений. После отделения вещественных и мнимых слагаемых получим:

$$E^{q} = -R^{q}I^{q} + X^{d}I^{d} \qquad E^{d} = -R^{d}I^{d} - X^{q}I^{q}. \tag{41}$$

Преобразуем основную систему мдс (38) таким образом, чтобы она выражала не магнитные потоки, а эдс и вместо мде фигурировали бы токи. Для этого умножаем уравнение (38) слева на блочные матрицы $\overline{2} \, W$ и заменяем $F^{z} = W I^{z}$, тогда получим систему, записанную в вольтах

$$\overline{\Omega} WDWI^{d} - \overline{\Omega} WGWI^{q} = -\overline{\Omega} WBf_{00}$$

$$\overline{\Omega} WGWI^{d} + \overline{\Omega} WQWI^{q} = 0,$$
(42)

где блочные матрицы W и 💆 равны:

$$W = \begin{bmatrix} W_n & 0 & 0 \\ 0 & W_n & 0 \\ 0 & 0 & W_n \end{bmatrix} \qquad \overline{\Xi} = \begin{bmatrix} \Omega & 0 & 0 \\ 0 & \Omega & 0 \\ 0 & 0 & \Omega \end{bmatrix}$$
(43)

 $W_* = w_* E_- (E_-$ единичная матрица порядка s), 2—по уравнению (19). Постоянная составляющая тока возбуждения индуктирует во всех обмотках гармоники внешних эдс, матрица которых равна

$$E_0^g = \overline{\Omega} W B f_{a0}. \tag{44}$$

Сравнивая слагаемые в левой части уравнения (42) со слагаемыми в правой части уравнения (41), получаем выражения для блочных матриц активных и индуктивных сопротивлений

$$R = R^d = \overline{\Omega} W G W, \qquad X^d = \overline{\Omega} W D W, \quad X^q = \overline{\Omega} W Q W. \tag{45}$$

Система (42) может быть записана через эдс в виде (с учетом (44) и (45)):

$$E^q + E^q = 0, \quad E^d = 0 \tag{46}$$

и представляет собой известное правило, что в замкнутых контурах сумма всех эдс должна быть равна нулю. На основе (41) и (44)—(46) могут быть построены векторные диаграммы. Производя необходимые вычисления получаем, что матрица R уравнения (45), является блочной диагональной матрицей, диагональные матрицы которой, равны:

$$R_0 = r_0 E_1 \quad R_0 = (r_0 + r_0) E_1 \quad R_1 = r_1 E_1$$
 (47)

где E-единичная матрица порядка s.

Блочные матрицы X^d и X^q уравнения (45)—являются блочными квадратными матрицами вида

$$X^{2} = [X^{2}] \quad (2 = d, q; \alpha, \beta = B, c, \beta),$$
 (48)

где матрицы X_3^* , которые являются элементами блочной матрицы равны:

для $z=\beta$ и для $z=\beta \neq c$

$$X_{\alpha\beta}^d = w, w, \Omega D_{\alpha\beta}, \quad X_{\alpha\beta}^q = w, w, \Omega Q, \quad (\alpha, \beta = B, C, A),$$
 (49)

для a = 1 = c

$$X_{cc}^{d} = w^{2}\Omega D_{cc} + L_{B}\Omega - \frac{1}{\epsilon_{B}}\Omega^{-1} \qquad A_{cc}^{n} = w^{2}\Omega Q_{cc} + L_{B}\Omega - \frac{1}{\epsilon_{B}}\Omega^{-1}. \quad (50)$$

Вполне естественно матрицы индуктивных сопротивлений вида А назвать матрицами собственных индуктивных сопротивлений, а вида (3)—матрицами взаимных индуктивных сопротивлений.

Ереванский политехнический институт им. К. Маркса

Գ. Լ. ԱՐԵՇՑԱՆ

րախախող հոսանքով միախազ ինղուկտուային զենեւատունեւի կայունացված պրոցեսների տեսությունը -

Սաացված է մադնիառչարժ ուժերի (մ. շ. ու.) հիմնական սիստեմը - արտահայտված մաարիցային տևորով) ինդուկտորային դեներատորների հա մար, օգտագործելով այդ մեբենաների էլեկտրական անհրի դիֆերենցիալ Հավասարումների սիստեմը և օղային բացակի մազնիսական հաղորդականու-Քյունը՝ արտահայտված Ֆուրեի կոսինուսային շարբերի տեսբով։

Այդ սիստեմի անալիտիկ լուծումը հնարավորություն է տալիս որոշելու մեբենայի թոլոր փաթույթների հոսանքները և մ. շ. ու., կայունացված պրոցեսներում ցանկացած հարմոնիկայի ճշտությամբ։

մարւ Մացված են ակտիվ և ինդուկտիվ դիմադրությունների մատրիցաների Ները։ Դիմադրությունների մատրիցաների թվային նշանակությունները կարող Մացված են ակտիվ և ինդուկտիվ դիմադրությունների կառուցման Հա-

ЛИТЕРАТУРА— ЧРИЛИБПЕРВИНЬ

1 Р. П. Жежерин, Индукторные генераторы, Госэнергонздат, 1961. ² Л. Чеснак, Р. Палка. Известия вузов, «Электромеханика» № 10, 1965. ³ М. М. Алексеева, Машинные генераторы повышенной частоты, Изд. «Энергия», 1967. ⁴ Н. Я. Альпер, Л. А. Терзян, Индукторные генераторы, Изд. «Энергия», 1970. ⁵ А. Г. Носифыян, ДАН Арм. ССР, т. VII, № 3 (1947) УДК 539.213

ФИЗИКА

В. П. Петросян, У. Руппельт

О внутрением давлении в полимерах

(Представлено чл.-корр АН Армянской ССР Г. С. Саакяном 10/XII 1973)

1. Изучение электрических свойств полимеров под действием внешнего давления на образец (1.2) показало, что активация кинетических элементов происходит при преодолении ими потенциальных барьеров, зависящих не только от внешнего, но также и от внутреннего давления.

Задачей настоящей работы является установление природы возникновения внутреннего давленя p_0 в полимерах при помощи молекулярной модели Фрелиха (3).

2. В модели Фрелиха молекула рассматривается в виде сферы, в центре которой расположен диполь с моментом р. Среда вне сферы находится в поле диполя р, потенциал которого оказывается равной величине:

$$\Phi_1 = \frac{3\cos\Theta}{2a_1 + a_2} \cdot \frac{\mu}{r^2},$$

где ϵ_1 и ϵ_2 диэлектрические проницаемости вещества вне и внутри сферы, а r и Θ координаты произвольной точки в сферической системе, начало которой совпадает с центром сферы. Благодаря этого поля диполя μ в окружающей среде возникнут механические наприжения Объемную плотность F поидермоторных сил можно найти по условию:

$$\vec{F}_{v} = \frac{\varepsilon_{1}-1}{8\pi} \vec{\Delta} E_{1}^{2} = \frac{\varepsilon_{1}-1}{8\pi} \vec{\Delta} (E_{1,r}^{2} + E_{1,e}^{2}).$$

Здесь E_1 — напряженность поля диполя и вне сферы, а $E_{1,r}$ и $E_{1,u}$ — радиальная и тангенциальная составляющие этой напряженности, связанные с потенциалом Φ_1 соотношениями:

$$E_{1,r} = -\frac{\partial \Phi_1}{\partial r} = \frac{6\cos\Theta}{2\varepsilon_1 + \varepsilon_2} \cdot \frac{\mu}{r^3}$$

H

$$E_{1} = -\frac{1}{r} \frac{\partial \Phi_{1}}{\partial H} = \frac{3 \sin H}{2 \epsilon_{1} + \epsilon_{2}} + \frac{\mu}{r^{3}}$$

Равнодействующая всех сих, приложенных к шару со стороны среды, расположенной вне него, равна силе поверхностного натяжения этого шара. Величина силы $d\vec{F}$, действующей на шаровой пояс, заключенный в интервале углов Θ и $\Theta + d\Theta$, может быть найдена по условию:

$$\vec{dF} = \int \int \int \int \vec{F}_{v} r^{2} dr \sin \Theta d\Theta d\gamma,$$

где r_0 — раднус сферы, соответствующий размерам диполя. Раднальная (dF_r) и тангенциальная (dF_r) составляющие этой силы определяются при помощи соотношений:

$$dF_r = \int_{r_0}^{\infty} \int_{\Theta}^{\Theta} \int_{0}^{d\Theta} F_{\psi,r} r^2 d2 \sin\Theta d\Theta d\varphi$$

Н

$$dF_{\Theta} = \int_{r_{\Theta}}^{\infty} \int_{0}^{\Theta + d\Theta} \int_{0}^{2\pi} F_{\psi,\Theta} r^{2} dr \sin\Theta d\Theta d\varphi,$$

где

$$F_{u,r} = -\frac{54(\varepsilon_1 - 1)}{8\pi(2\varepsilon_1 + \varepsilon_2)^2} \cdot \frac{r}{r} (1 + \cos^2 \theta)$$

H

$$F_{\mu\mu} = -\frac{27(\epsilon_1 - 1)}{8\pi(2\epsilon_1 - \epsilon_2)^2} - \frac{\mu^2}{r^4} \sin 2\theta.$$

Расчет приведенных интегралов показывает, что

$$dF_r = -\frac{27(\varepsilon_1 - 1)}{16\pi(2\varepsilon_1 + \varepsilon_2)^2} - \frac{r_0^{\theta}}{r_0^{\theta}} (1 + \cos^2\Theta)dS$$

H

$$dF_{\theta} = -\frac{27(\varepsilon_1 - 1)}{16\pi(2\varepsilon_1 + \varepsilon_2)^2} + \frac{\mu^2}{r_0^6} \sin\Theta\cos\Theta dS,$$

где dS —элемент поверхности сферы, равный $dS = 2\pi r^2 \sin\Theta d\Theta$,

Величина давления, оказываемого каждой из этих составляющих сил на поверхность сферы, окажется равной

$$p_r = \frac{dF_r}{dS} = -\frac{27(\epsilon_1 - 1)}{16\pi(2\epsilon_1 + \epsilon_2)^2} - \frac{1}{r_0^2}(1 + \cos^2\theta)$$

$$p_{H} = \frac{dF_{H}}{dS} = -\frac{27(\varepsilon_{1} - 1)}{16\pi(2\varepsilon_{1} + \varepsilon^{2})^{2}} - \frac{\mu^{2}}{r_{0}^{6}} \sin \theta \cos \theta.$$

H

Значение полного давления определяется как сумма величин p_r и p_θ , т. е. $p = p_r + p_\theta$, тогда $p_0 = \langle p \rangle = \langle p_r \rangle$, так как $p_\theta > = 0$. Поэтому на диполь со стороны среды будет оказываться внутреннее давление, равное

$$p_0 = -\frac{9(z_1 - 1)}{4\pi(2z_1 + z_2)^2} + \frac{\mu^2}{r_0^6}.$$

Из этого соотношения вилно, что p_0 зависит от величины дипольного момента μ и размеров r_0 полярной связи. Знак минус указывает на то, что давление p_0 направлено к сфере, т. е. в сторону, противоположную r.

Если учесть молекулярное близкодействие, то под р следует понимать эффективный дипольный момент, связанный с дисперсией вещества $\Delta \varepsilon$ (где $\Delta \varepsilon = \varepsilon_0 - \varepsilon_-$, а ε_0 — статическая диэлектрическая проницаемость вещества, а — диэлектрическая проницаемость образца при сверхвысоких частотах внешнего поля) формулой Фрелиха

$$\Delta \varepsilon = \frac{4\pi n}{3kT} \lambda_1 \mu^2,$$

где *n* — объемная плотность диполей, а и определяется соотношением:

$$\lambda_1 = \frac{3\varepsilon_0}{2\varepsilon_0 + \varepsilon_-}.$$

Величина n связана с плотностью образца (ρ), его молекулярным весом (M) и числом Авогадро (N_A) условием:

$$n = \frac{3}{4\pi R_0^3} = \frac{N_A}{M} \rho_1$$

где R_0 радиус сферы, соответствующий размерам молекулы.

Между r_0 и R_0 существует различие. Первая величина относится к размерам полярной связи, входящей в состав молекулы, а вторая—ко всей молекуле. Участвуя в переходных процессах полярная связыможет охватывать и соседние частицы, поэтому величина:

$$X = \frac{r_0^3}{R_0^3}$$

будет показывать долю объема молекулы, занимаемого релаксатором. Если $r_0 = R_0$, то в релаксационном процессе участвует вся молекула, в получаемая из опыта информация будет относиться к межмолеку-

лярному перемещению, происходящему в веществе. При X < 1 наблюдаемые на эксперименте релаксационные процессы связаны с внутримолекулярным движением частиц.

Величина X может быть получена при помощи приведенного расчета внутреннего давления в полимерах. Действительно, выражение для p_0 можно видоизменить:

$$p_0 = -\frac{\Delta \varepsilon (\varepsilon_0 - 1) \rho RT}{X^2 \varepsilon_0 (2\varepsilon_0 + \varepsilon_-) M}.$$

В последнем равенстве принимается $\varepsilon_1 = \varepsilon_0$ и $\varepsilon_2 = \varepsilon_*$. На этого равенства находим:

$$X = \left[-\frac{\Delta \epsilon (\epsilon_0 - 1) \rho RT}{\epsilon_0 \rho_0 (2\epsilon_0 + \epsilon_m) M} \right]^{1/2}$$

Оценивая из опытных данных диэлектрические параметры вещества, а также и величину p_0 , можно при помощи последнего равенства оценить значение параметра X.

3. Если воспользоваться данными для диэлектрических параметров полихлоропрена, приведенными в работах ($^{4.5}$), то можно рассчитать значения X_{β} и X_{α} , соответствующие процессам β и α — релаксации. Расчет показал, что эти величины соответствению равны (),07 и 0,15 и мало изменяются с гемпературой образца. Полученные значения X_{α} и X_{α} указывают на то, что в процессе ориентационной поляризации полихлоропрена принимает ограниченное число атомов мономерного звена этого полимера. При расчетах величина внутреннего давления $p_{0,1}$ принималась равной 1.10^{10} du/cM^{2} , соответствующего внутреннему давлению β — процесса поляризации ряда полимеров.

Ереванский государственный университет

4. M. MUSPAUSUL, Ab. PARADIS

Ներքին ճնշումը պոլիմերներում

էլնղըըութըևի չահահընարար գտվանն։ անժվաւրերընն խաւմ ըր տանիս գրաչատրնու թար անվաց՝ ան այժ ըրհանար որդուրեյուրը իախվաց է իրչարս ղանրիումըրև երրաանդար խղերի վիասնայիր վազրևի-թևյանիան ում իրնվում է անկանը չափրևին։ հատանվաց չաչվանիրնիր որդուրերընն իր խում ըր տանիս գրաչատրնու րար անկանընկան չաչվանկանիր որդությունը իրում է այժ իրվանընկանը հատարվաց չաչվարին իր որդությունը իրում իրում և անկանը ու ըար անկանընկան հաշվարկը Օրորդությունը իրում եր տանական գրանարը։

ЛИТЕРАТУРА — ЧРИЧИНЫ ПЕРВОРЫ

³ G. W. Williams, Trans. Farad. Soc., 60, 1556. (1964). ³ G. W. Williams, D. A. Edwards, Trans. Farad. Soc., 62, 1329, (1966). ³ Г. Фрелих, Теория диэлектриков. Изд. иностр. лит., М, 1960. ⁴ В. П. Петросян, Ш. Т. Ёгуртджян. Высокомолек. соед., AIX, 64, (1967). Ш. Т. Ёгуртджян, А. В. Джанбарянц, В. П. Петросян, Высокомолек. соед., AI4, 2570, (1972)

ДОКЛАДЫ АКАДЕМИИ НАУК АРМЯНСКОЯ ССР LVIII

УДК 537.56

ФИЗИКА

С. А. Агабалян, Г. А. Галечян, С. И. Петросян

Страты в контрагированном положительном столбе в продольном потоке гелия

(Представлено чл. корр. АН Армянской ССР М. Л. Тер-Микасляном 5/11 1974)

В контрагированном положительном столбе в продольном потоке гелия образуются неподвижные страты, причем только при направлении потока от катода к аноду.

На рис. 1 приведена фотография таких страт при давлении в трубке 17 мм рт. ст. и токе 20 ма. Внутренний днаметр трубки 10 мм. длина ее 200 мм. На фотографии поток направлен слева направо.

Скорость потока газа в трубке устанавливалась откачкой двумя насосами, производительностью каждого 18 л/сек. Один из них подключался после первых трех страт, второй—после следующих шести. Следовательно, в области первых трех страт скорость газа устанавливалась благодаря откачке двух насосов и была равна 250 м/сек, а в области следующих шести страт—благодаря откачке одного насоса и была равна 100 м/сек.

Величина скорости потока газа измерялась трубкой Пито.

Расстояние между соседними стратами на участке первых трех страт примерно в два раза больше, чем расстояние между следующими шестью стратами. Следовательно, расстояние между двумя соседними стратами зависит от скорости потока газа, при постоянстве тока и лавления.



Рис. 1. Фотография страт в потоке газа. Направление потока слена направо. В области первых трех страт $V_1 = 250~M_\odot$ следующих шести— $V_2 = 100~M_\odot$ сек

Описанные страты образуются при контрагировании положительного столба. Контракция происходит в пределах давлений от 5 до 15 мм рт. ст. в зависимости от скорости потока газа и разрядного тока. Начало контракции фиксируется скачкообразным увеличением величины тока и расстояния между стратами. Их диаметр при этом уменьшается примерно в два раза. При увеличении давления выше 20 мм рт. ст. страты начинают вытягиваться, смазывается резкая граница головы страт и расстояние между ними уменьшается. Происходит процесс исчезновения страт и одновременного увеличения диаметра положительного столба При давлении 40-60 им рт. ст. страты полностью исчезают, возникает сплошной в продольном направлении разряд. Диаметр положительного столба увеличивается до внутреннего диаметра трубки. Эти явления происходят вследствие того, что при повышении давления в потоке возникает турбулентное течение гелия. Поток гелия со скоростью 250 м/сек и давлением 20 мм рт. ст. в трубке днаметром 10 мм характеризуется критическим числом Рейнольдса. При этом скачком изменяется величина скорости газового потока.

Страты не образуются при условиях, приведенных выше, когда поток гелия направлен к катоду. Возникает контрагированный, сплошной в продольном направлении разряд.

Для теоретического рассмотрения природы страт в потоке воспользуемся выводом Стюарта (1) и Фарриса (2) о том, что диффузионное уравнение применимо к стратам.

Недоспасов применил диффузионное уравнение для вывода формулы периодичности (длины) страт и распределения продольной концентрации электронов, которые находятся в согласии с экспериментальными данными.

Исходя из приведенных соображений диффузионное уравнение для неподвижных страт в потоке будет иметь следующий вид:

$$-D_a \Delta n_i + V_0 \frac{\partial n}{\partial z} = q(r) \sum_{m=-\infty}^{+\infty} \hat{a}(z - md), \tag{1}$$

где V_0 —скорость потока газа,

d — длина страт.

Функция ионизации, как и принято в работах (1,2) имеет — образный характер, т. е. ионизация сосредоточена, в основном, в тонком по сравнению с длиной страты слое.

q(r)—число пар электронов и ионов, образовавшихся на единице площади двойного слоя.

Ось OZ направлена по оси трубки. За положительное направление принято направление потока газа, при котором образуются страты (от катода к аноду).

В уравнения (1) отсутствует член, выражающий объемную рекомбинацию, заряженных частиц в плазме, так как Ланч в работе (4) показал, что объемная рекомбинация в контрагированном положитель-

ном столбе преобладает над потерей заряженных частии, обусловленной их диффузией к стенкам только при rp > 750 мм рт. ст. см. В нашем случае rp порядка 20 мм рт. ст. см.

На стенках трубки примем граничное условне n=0. Для экспериментальных условий, приведенных выше, оно выполняется достаточно точно (1).

Уравнение (1) имеет нелинейный характер и в то же время принятое определение функции, находящейся в правой части, позволяет несложно найти его решение.

Принимая во внимание осевую симметрию получим распределение по радиусу $n(r) = CJ_0(\mu r)$, где $\mu = 2,405/r_0$ (r_0 —радиус трубки), тогда $q(r) = q_0J_0(\mu r)$.

Решение уравнения (1) в пределах одной страты будет иметь вид:

$$n = \frac{q_0 J_0(\mu r)}{\sqrt{v_0^2 + 4\mu^2 D_a^2}} \frac{\exp\left(\frac{v_0 - \sqrt{v_0^2 + 4\mu^2 D_a^2}}{2D_a}\right) z}{1 - \exp\left(\frac{v_0 - \sqrt{v_0^2 + 4\mu^2 D_a^2}}{2D_a}\right) d}.$$
 (2)

Формула (2) описывает распределение плотности зарядов вдоль одной страты.

В голове страты происходит интенсивная нонизация, что приводит к локальному возрастанию n, в силу чего начинает играть роль продольная диффузия зарядов к аноду. Электрическое поле диффузии направлено навстречу приложенному.

Плотность тока в потоке газа равна:

$$j = e_0 D_{e\nabla} n - e_0 b_e E + e_0 n v_0, \tag{3}$$

где b_e -подвижность электронов.

Как показано в работе (6), электрическое поле меняет знак, что связано с достижением минимальной концентрации n_e , необходимой для поддержания тока в цени за счет диффузии.

Расстояние от начала страты, на котором E=0, можно принять за длину страты d. При этом пренебрегаем толщиной двойного слоя заряда и областью ионизации. Тогда для d имеет место следующее уравнение:

$$i = \int_{0}^{\infty} j_{z=d} r dr. \tag{4}$$

Поставим (3) в (4), затем полученное в (2). После интегрирования получим:

$$d = \frac{2D_a}{\sqrt{v_0^2 + 4\mu^2 D_a^2 - v_0}} \ln \left\{ 1 + \frac{1}{i} \frac{\pi q_0 e_0 r_0^2}{\sqrt{v_0^2 + 4\mu^2 D_a^2}} \frac{J_1(2,4)}{2,4} \right. \times \left[\frac{D_e}{D_a} \left(\sqrt{v_0^2 + 4\mu^2 D_a^2} - v_0 \right) + 2v_0 \right] \right\}.$$
 (5)

Формулы (2) и (5) находятся в качественном согласии с нашими экспериментальными данными. Чем больше скорость потока, тем медленнее убывает п, в силу чего минимальное значение концентрации достигается на большом расстоянии от головы страта. Увеличение длины страта с увеличением скорости потока связано с более медленным убыванием п в пределах страты.

Формулы А. В. Недоспасова для длины страты и распределения плотности зарядов вдоль одной страты при отсутствии потока газа

получаются из (2) и (5) при $v_0 = 0$.

Институт физических исследований Академин наук Армянской ССР

ս և ռղևթևլեստ և Գ ԳԱլեզցևտ ս. Ի ԳԵՏՐՈՍՅԱՆ

Ստոսաները հելիումի երկայնական հոսանքում սեղմված դրական սյան տիրույթում

Հողվածում նկարագրված հն գազի հրկայնական հոսանքի դրական սյան տիրույթում առաջացող ստրատները։

Փորձնականորեն հաստատված է, որ երկու հարևան ստրատների միջև եղած հեռավորությունը կախված է դազի հոսքի արագությունից՝ ճնշման և էլեկտրական հոսանքի հաստատուն արժնքների դեպքում։

Տեսականորեն ստացված են այդ հեռավորության և ստրատների երկայնքով խտության բաշխման բանաձևեր, որոնք համապատասխանում են փորձնական տվյալներին։

ЛИТЕРАТУРА — ЭРЦЧЦЪПЪРВПЬЪ

¹ A. B. Stewart. J. of Appl. Phys., 27, 911 (1956). ² D. V. Farris, Proc. of Phys. Soc., B, 68, 381 (1955). ³ A. B. Hedocnacos, ЖТФ, 28, 173 (1958). ⁴ R. H. Lynch, I of Appl. Phys., 38, 3965 (1967). ⁵ A. B. Hedocnacos, УФН, 94, 439 (1968). ⁶ A. B. Hedocnacos, ЖТФ, 24, 1202 (1956).

УДК 542.127 952 + 547 12.333

ОРГАНИЧЕСКАЯ ХИМИЯ

Академик АН Армянской ССР А. Т. Бабаян, К. Ц. Тагмазян, А. И. Иоффе, Р. С. Мкртчян, Г. О. Торосян

К механизму внутримолекулярной циклизации бромаллилатов и пропаргилатов диалкил-2,4-пентадиенил (2-фурилметил) аминов

(Представлено 14/111 1974)

Четвертичные аммониевые соли, содержащие наряду с 2,4-пентадненильной (2-фурилметильной) группой группу аллильного или пропаргильного тыпа, подвергаются внутримолекулярной циклизации при нагревании их водных, диметилфорамидных или ацетонитрильных растворов на кипящей водяной бане (12). Поскольку эта циклизация формально соответствует реакции Дильса-Альдера, а участвующие в ней группы являются типичными для реакции Дильса-Альдера диенами и дненофилами, то на первый взгляд вопрос о механизме этой циклизации не должен вызывать особых сомнений. Однако, как мы указывали (2), в аминах с теми же группами циклизация не идет. Различия в пространственном строении аминов, с одной стороны, и соответствующих им аммонневых и четвертичных аммониевых солей, с другой, не должны приводить к затруднению циклизации в аминах. Следовательно, найденная нами внутримолекулярная циклизация не сводится только к взаимодействию типичных для реакции Дильса-Альдера диена и дненофила: существенная роль в этой реакции принадлежит связывающему реагирующие группы азоту-его валентному состоянню.

Необходимым этапом на пути выяснения роли валентного состояния связывающего реагирующие группы азота является, по нашему мнению, доказательство того факта, что найденная нами внутримолекулярная циклизация соответствует реакции Дильса-Альдера не только формально, но и по своему механизму.

Настоящая работа посвящена научению влияния структурных факторов на кинетику циклизации солей общен формулы I—IV с целью выяснения механизма последней.

$$(CH_{2})_{9}\overset{\downarrow}{N} < CH_{2}CX = CHY$$

$$CH_{2}CH = CHCH = CH2$$

$$I \quad \alpha - 6$$

$$(C_{2}H_{6})_{2}\overset{\downarrow}{N} < CH_{2}CX = CHY$$

$$CH_{2}CH = CHCH = CH2$$

$$CH_{2}CX = CHY$$

$$CH_{$$

Кинетика циклизации изучалась спектрофотометрическим методом, в водной среде, при длине волны 235 нм, соответствующей максимальной разности поглощений исходной и циклизованной солей. Полученные результаты приведены в табл. 1.

Таблица 1 Константы скорости циклизации (Х.10³) солен Іа—в; Па—б; Па—в; ІVа—б при 85° в водной среде

Исходная соль	Значения		К.10 ² , мин-1	незамещен.	۵ .
	X	Y	Телоч, мин	к замещен.	ا ا
a 6 R	H CH H	H H CH ₃	0.57 0.092 0.037	1.0 6.2 15.4	6.22
ll a ll 6 lll a	H CH H	Н	22.10 0.6 7.15	36 1.0	4.97
III 6	CH.	H CH ₃	2.24 0.90	3.2 7.9	6.02
IV a IV 6	H CH ₃		0.302	21.3	4.77

Согласно представлениям современной теоретической органической химии, реакции Дильса-Альдера может происходить либо как супра, супра, либо как антара, антара—присоединение (3), причем первый вариант является более вероятным (4). Переходное состояние супра-супра-присоединения характеризуется существованием взаимолействия между верхней занятой МО (ВЗМО) диена (ψ_2) и нижней свободной МО (НСМО) диенофила (ψ_3) а также между НСМО диена (ψ_3) и ВЗМО диенофила (ψ_4) (рис. 1). Взаимодействие же двух ВЗМО (ψ_2) и (ψ_3) и (ψ_4), как следует из свойств симметрии этих орбиталей, является неэффективным (рис. 1).

Далее можно отметить, что взаимодействие между ψ_2 и ψ_4 является более существенным, поскольку эти орбитали разделены меньшей энергетической щелью. Таким образом, переходное состояние реакции Дильса-Альдера характеризуется существованием трех запятых МО, причем верхняя из них (\varkappa_3) возникает при взаимодействии ВЗМО диена и НСМО диенофила, более значительном, чем взаимодействие НСМО диена и ВСМО диенофила, приводящее к \varkappa_2 .

Это соответстнует некоторому перепосу заряда от диена к диенофилу, что отмечено данными корреляционного анализа (5) и согласуется с нашими данными о снижении скорости внутримолекулярной циклизации при уменьшении диэлектрической постоянной растворителя (табл. 2).

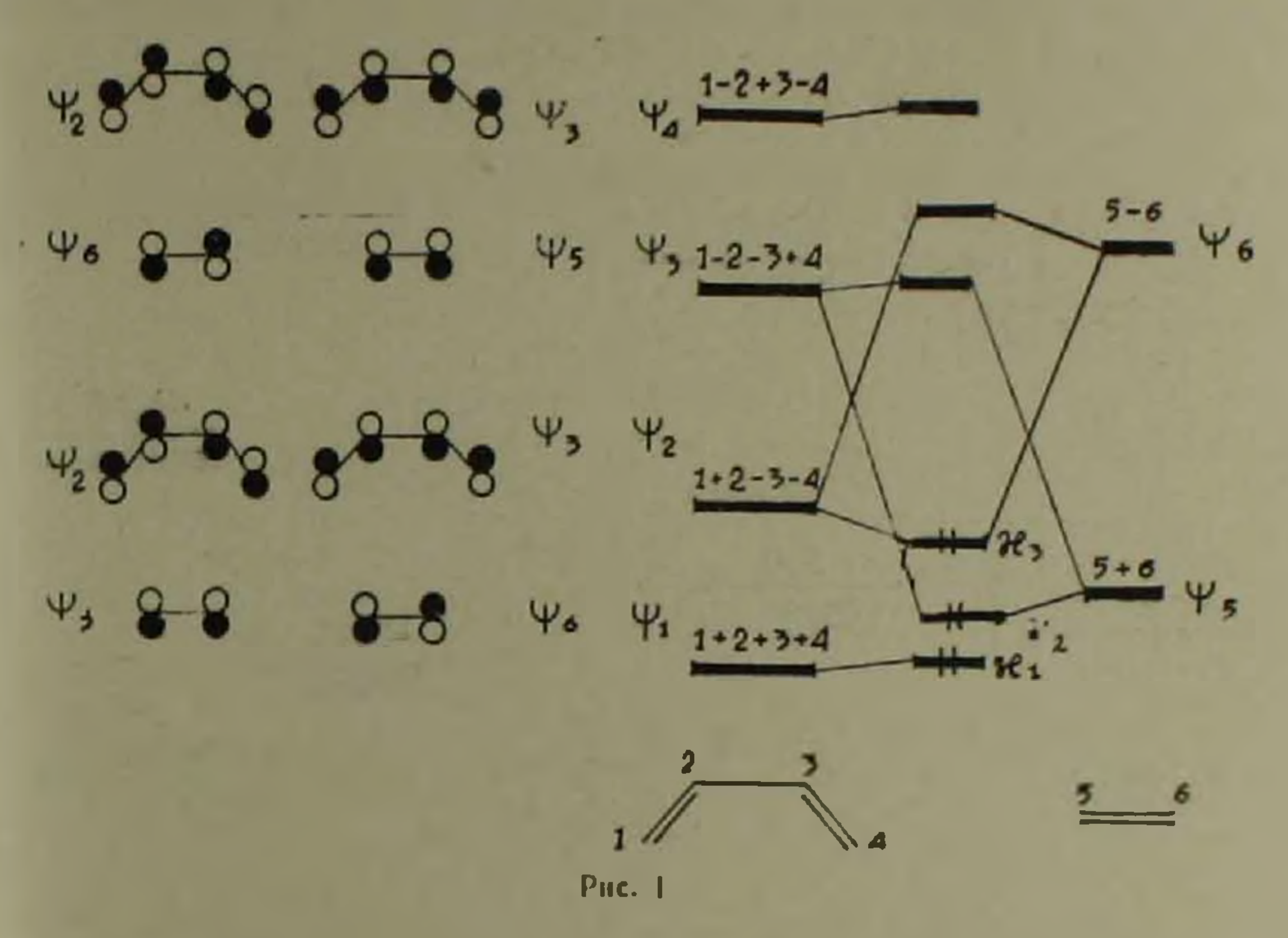


Таблица 2 Константы скорости циклизации солен Па, IVa в водноя, сипртовой и ацетопитрильной среде при 64

Испытуемая соль	К. 10°, мин среда			
Picilary enan conn	вода	спирт этилов. 94%	ацетоннтрия	
CH ₂ C=CH CH ₂ CH ₂ CH CH ₂ CH CH ₃) ₅ N CH ₂ CH CH—CH	2,58	1.43		
(C ₂ H ₃) ₃ N (H ₃ CH ₃ CH ₃	1.70	0.59	0.25	

Таблица 3
Литературные данные потещивлов понилации (*) и области поглощения
(*) соответствующих дненов и дненофилов

Состинение	Потенциал нонизации, эв	Уф полосы, или	Энергетическая щель, эв
Этилен	10.5	163	7.52
Ацетилен	11.4	173	7.17
Бутадиен	9.2	217	5.72
Фуран	9.0	207	5.99

Переход от аллильного (1a) к пропартильному (Пa) дненофилу связан со значительным понижением энергий ВЗМО и НСМО (рис. 2, табл. 3), что уменьшает энергетическую щель между ½ и ¼ и должно приводить к увеличению скорости реакции. Аналогичное влияние на скорость реакции должен иметь и переход от пентадиенильного (1a) к 2-фурильметильному (Па) днену (при аллиле в качестве дненофила), поскольку в этом случае происходит увеличение энергий ВЗМО и НСМО днена, что также уменьшает энергетическую щель между ½ и ¼

Рис. 2

Наблюдающееся значительное снижение скорости реакции при переходе от 2,4 пентадиенила (Па) к х -фурилметильному днену (IVa) (при пропартиле в качестве диенофила) может быть объяснено существованием в переходном состоянии дополнительного взаимодействия между копланарной кольцу неподеленной парой кислорода и второй, не участвующей в реакции Дильса-Альдера х-системой ацетилена.

Симметрия этих орбиталей разрешает лишь π —Р-взаимодействие, дестабилизирующее систему (в) и являющееся достаточно эффективным противодействием сближению реагирующих компонентов.

Для солей Ia, IIa, и IIIa, IVa наблюдается четкая антибатность между величинами К и ΔE , причем введение электроподонорного метильного заместителя в дненофил (16.8; II6; III6,8; IV6), приводящее к росту энергий ВЗМО и НСМО (4) и, следовательно, к уменьшению скорости реакции, сказывается тем сильнее, чем меньше энергетическая щель между 4 и 4. то есть чем активнее соединение (табл. 1).

Тот факт, что наши экспериментальные данные могут быть интерпретированы с точки зрения теории, разработанной для согласованного (одностадийного) 4-2-циклоприсоединения, свидетельствует в пользу того, что рассматриваемая циклизация является истинной внутримолекулярной реакцией Дильса-Альдера (4).

Институт органической химин Академии наук Армянской ССР Հայկական ՍՍՀ ԳԱ ակաղեմիկոս և, Թ. ԲԱԲԱՅԱՆ, Կ. Ծ. ՔԱՀՄԱԶՅԱՆ, Ա. Ի. ԻՈՖՖԵ, Ռ. Ս. ՄԿՐՏՉՅԱՆ, Գ, Հ, ԹՈՐՈՍՅԱՆ

Դիալկիլալլիլ (կամ պրոպարգիլ) 2.1-պենտադիենիլ (կամ գ-ֆուբիլմեթիլ) ամոնիումական աղերի ներմոլեկուլային օղակավորման մեխանիզմը

Ուսումնասիրված են մի շարք ամոնիումական աղերի ներմոլեկուլային ողակավորման արագուիյունները։ Քանի որ ստացված փորձնական արդյունք-ները հնարավոր է բացատրել միանվադ համաձայնեցված 4—2 օղակավոր-ման տեսությամբ, ուստի ուսումնասիրված օղակավորումը կարելի է դիտել որպես Դիլսի-Ալդերի ռևակցիայի ներմոլեկուլային օրինակը։

ЛИТЕРАТУРА — ЭГЦЧЦЪПЪРВПЬЪ

1 1 Бабаян, К. Ц. Тагмазян, Г. О Торосян, ЖОрХ, 9, 1156 (1973) 2 1. 1 Бабаян, К. Ц. Тагмазян, Р. С. Мкртчян, ЖОрХ, 6 (1974). 2 Р Б Вудворд, Р Хоффиан, Сохранение орбитальной симметрии, «Мир», М., 1971. 4 N. D. Epiotis, J. Am. Chem Soc., 94, 1924, 1935, 1941, 1946(1972); 95, 1191, 1200, 1206, 1214 (1973). 3 Kresze, J. Firl, H Zimmer, U Wollnik, Tetrahedron, 20, 1605(1964). 4 Энергин разрыва хим. связей. Потенциалы нонизации и сродство к электрону, Справочник, Изд. АН СССР, М., 1962. 1 Л. А. Казицына, Н. Б. Куплетская, Применение УФ, ИК и ЯМР спектроскопии в органической химии, Высшая школа М., 1971. 5 R. Hoffman, АСС. Chem. Reg., 4, 1(1971).

LVIII 1974

УДК 547.362+543.4224

ОРГАНИЧЕСКАЯ ХИМИЯ

Б. З. Геворкян, В. Т. Алексанян

Образование комплексов окисных циклов с молекулярным хлором при низких температурах

(Представлено академиком АН Армянской ССР А. Т. Бабаян 2/IV 1974)

Недавно мы сообщили об образовании донорно акцепторного комплекса циклопропана с молекулярным хлором при низких температурах в твердой фазе (1). Было наидено, что в этих же условиях образуется комплекс хлора с оксираном. Однако в этом случае в донорно акцепторном взаимодействии участвуют, по-видимому, не орбитали трехчленного цикла, а неспаренные электроны атома кислорода окисного цикла. Об этом свидетельствует, во-первых, большая величина сдвига и при комплексообразовании с оксираном и, во-вторых, тот факт, что по предварительным данным образование комплекса имеет место и в случае четырехчленного окисного цикла оксетана, тогда как циклобутан в аналогичных условиях с молекулярным хлором не взаимодействует.

В настоящем сообщении изложены результаты более детального изучения взаимодействия с молекулярным хлором некоторых окисных циклов-оксирана, оксетана, тетрагидрофурана.

Образцы для измерений готовили совместным напылением компонент в криостате. Напыление осуществляли при давлении 10 эмм рт. ст. через систему с игольчатым вентилем тонкой регулировки, позволяющую менять скорость напуска органического компонента. Регулировка напуска хлора в криостат осуществлялась с помощью системы тонких стеклянных капилляров. Конструкция криостата позволяла производить измерения спектров ИК поглощения и спектров КР.

Спектры НК поглощения измерены на спектрофотометре Хитачи-Перкин-Эльмер, модель 225 со спектральной ширипои щели не превышающей 1,0—1,5 см⁻¹, спектры КР (область частот валентного колебания Cl₂)—на спектрометре Кодерг РНО с лазерным возбуждением (Не—Ne- лазер, мощностью 25 мвт). Результаты измерений для образцов с соотношением, органической компоненты к хлору 1—50. представлены в таблицах 1—3. Для сравнения в этих же таблицах приведены результаты измерений ИК-спектров поглощения чистых поликристаллических образцов оксирана, оксетана и тетрагидрофурана вместе с данными об отнесениях наблюдаемых полос поглощения Чистый кристаллический хлор не поглощает в средней ИК области Частоты линий валентного колебания Cl₂ в спектре КР кристаллического Cl₂ равны 538 (³⁵Cl₂) 530,5 (³⁵Cl₂) ²⁷Cl₂) и 523,5 см⁻¹ (³⁷Cl₂) с соотношением интенсивностей, равным 9:6:1.

При рассмотрении данных таблиц 1—3 обращает на себя внимание отсутствие давыдовского расшепления полос поглощения окисных циклов, характерного для спектров чистых веществ. Можно поэтому заключить, что исследованные образцы являются по существу истинными твердыми растворами органического компонента в хлоре.

Во всех спектрах появляется триплетное поглощение области 500— 550 см обусловленное молекулярным хлором и сдвинутое относительно частот свободного хлора, известных из спектра КР. Появление этого поглощения и наличие сдвига свидетельствует о донорно-акцеп-

Отнесение (2)	Оксиран жидкость $T = -90$ (2)	Оксиран кристаля T= - 180 (2)	Твердый раствор оксирана в С1 ₂ 7 — 180
³¹ C1 ₂			506 ca
3½C1-32C1			514 cp 520 cp
- · · ·		783 сл	
B ₂ 4 ₁₅ 58 CH ₂	799 c	794 c 798 c	781 cp
A ₂ v ₈ v _R CH ₂	817 ca	818 cp 825 cp 838 o.c.a	813 cp
√1 √13 коле по	865 o.c	854 o.c 860 o.c	856 o.c
В ₁ ч ₁₂ кольцо		876 o.c	
A ₃ b ₁ CH ₃	1033 о сл	104 · 5 c	1116
A _{1 '4} CH ₂	1119 ca	1117 ca 1119 ca	1116 сл
B 11 St CH2	1151 cp	1147 c	1144 ca
-11 M OH		1161 cp	1149 ср
Biolin Sw CH,	10.7	1166 cp	1158 cp
		1170 cp	
CisCis H'O	1256 сл. пл.	1253 o.ca	1000
Ат з кольцо	1265 o.c	1267 o.c	1266 c
B ₁ v ₁₀ β ₄ CH ₂	1457 ср пл.	1460 cp	1459 c
A a cu	1466 c	1467 cp 1480 cp	1481 cp
A _{1 Y2} 3 ₅ CH ₂		1494 сл	

Обозначения: с-сильная, ср-средняя, сл-слабая, о-очень, пл-плечо, вр СН₂, л₄СН₂, л₄СН₃ и л₅СН₃ маятниковые, крутильные, веерные и ножинчиме колебания метпленовых групп.

торном взаимодействии молекул хлора с молекулами окисных циклов. Величина сдвига возрастает при переходе от трехчленного (18 см $^{-1}$) к четырехчленному циклу (26 см $^{-1}$) и далее сохраняется (тетрагидрофуран—26 см $^{-1}$). Наблюдаемый ход $^{\Delta v}_{\text{CI}}$, согласуется с выводом о том, что молекула хлора при комплексообразовании взаимодействует с атомом кислорода окисного цикла, так как именно подобным же образом в ряду трех-четырех и пятичленных гетероциклов качественно меняется основность гетероатома (5 $^{-1}$).

Колебательный свектр оксетана и его твердого раствора в Cl₂ в области < 1500 см ⁻¹

Таблица 2

в Cl ₂ в области <1500 см ¹					
Отнесение (3)	Жидкость (3)	Кристалл 7 =—180 (3)	Твердын раствор в С1 ₂ Т——180		
3°C1 3°C1 3°C1 A ₁ '8 скелет A ₂ '13 'R CH ₂ B ₂ '23 SR CH ₂ B ₁ скелет A ₁ '4 скелет B ₁ скелет B ₁ скелет	830 ca 892 o.c 991 o.c 929 c	734 с 825 с 843 ср 854 о.сл 895 о.с 906 о.с 928 ср 963 сл,пл 978 о.с	497 cn 505 cp 512 c 750 cp 888 c 904 cp 926 o.c		
А _{1 46} скелет	1028 c	984 o c 1026 o.c	1015 o.c		
B ₂ *21 3t CH ₂	1134 c	1128.5 cp 1137 o.c 1144.5 cp	1133 ср		
A ₂ *11 *1 CH ₂	1176 сл	1184-3 ср	1180 ся		
A ₂ γ ₁₀ β ₁ CH ₂	1202 сл.пл	1196.3 с	1200 сл		
B ₁ v ₁₀ v _w CH ₃ B ₁ v ₁₅ v _w CH ₃	1233 с 1285 сл	1249.3 c 1288.2 cp 1342 cp	1235 c 1283 cp		
A ₁ v ₅ v _w CH ₂ B ₁ v _{3,4} 3, CH, A ₂ v ₄ 7, CH ₃	1311 о.сл 1452 ср 1460 ср	1352.5 cp 1455 cp 1464 c	1332 cp 1449 c 1463 cp		
A ₁ ν ₃ β ₄ CH ₂	1499 cp	1466.5 cp 1515 cp	1485 cp		

Обозначения см. табл: 1

Спектр окисного цикла в целом меняется мало при образовании комплекса. Отметим довольно заметные сдвиги полос в инзкочастотную сторону, достигающие до 30 см 1. Такие значительные сдвиги нельзя приписать лишь влиянию «растворителя»—хлора и, в основном, как мы полагаем обусловлены комплексообразованием.

Интересно отметить, что в спектрах сокопденсатов Cl_2 с оксираном и оксетаном очень слабы или полностью отсутствуют полосы колебании симметрии A_2 , хорошо проявляющиеся в спектрах чистых поликристал-

Колебательный спектр тетрагидрофурана и его твердого раствора в Cl₂ в области < 1500 см-1

Отнесение (4)	KP (4)	ИК (4)	Кристалл 7 — 180 (4)	Твердый раствор ТГФ в С1 ₂ 7— 180°
35C1 35C1 35C1				497 cp 505 c 512 c
B _{1 126} βR CH ₂	651 o.c	654 c	662 c 725 ca	655 c 662 c 676 c
			838 q.c 871 c 891 c 908 c	832 c 852 c 875 c 910 c
А ₁ v ₉ скелет В ₁ v ₂₅ βR СН ₂	908 o.c		921 с 954 с 980 сл.пл	922 c 958 cp
A ₁ v ₆ βR CH ₂ A ₁ v ₇ скелет	1028 сл 1071 о.сл	1030 ср пл 1067 о с	1043 о.с. 1058 о.с 1150 сл	985 c.1 1037 o.c
A ₁ _{V₆} скелет В ₁ _{V₃₀} β _w СН ₂	1174 о.сл 1234 ср	1179 o c 1238 c	1179 o.c 1241 c 1292 cp	1167 cp 1240 cp 1290 cp
U _{1 123} β _w CH ₂		1289 ср	1307 cp 1323 cp	1308 сл
A 1/3 βw CH ₂ B ₁ 1/33 βw CH ₂	1335 cp 1368 cp	1333 сл 1364 ср	1339 сл 1368 ср 1421 сл.пл 1441 с	1338 cp 1360 cp 1444 cp
B ₁ γ ₂₀ β ₅ CH ₂ A ₃ γ ₃ β ₅ CH ₂	1452 c 1486 cp	1461 c	1466 cp 1487 cp	1457 cp 1475 ca

Обозначения см. таба. 1

лических образцов. Это означает, что симметрия комплексов не ниже, C_{23} , а поскольку сами оксиран и оксетан в свободном состоянии имеют симметрию C_{23} , то можно сделать вывод о сохранении их симметрии в комплексах.

Институт органической химин Академии наук Армянской ССР

Институт элементо-органических соединений Академии наук СССР

ը, գ. գնվորգերը, վ. Տ. Ալեբսևները

Ցածբ չնբմաստինանում օքսիդային օղակների ճետ մոլնկուլային քլորի կոմպլեքսների առաջացումը

ծույց է տրված, որ օքսիրանը, օքսնտանը և տնտրոհիդրոֆուրանը ցածր ջերմաստիճանային պայմանում քլորի հետ համատեղ նստեցնելիս վերջինի հետ առաջացնում են դոնոր-ակցեպտորային կոմպլեքսներ։ Օքսիդային օղակում որոյես ակտիվ կենտրոն հանդես է դալիս իիվածևի ատոմը էլեկտրոնների դոնորի դերում։

թյան մեջ է գտնվում այդ օղակներում իթվածնի ատոմի հիմնայնության հետև չարքով՝ օքսիրան<օքսետան - տետրահիդրոֆուրտն, որը համապատախանության մեջ է գտնվում այդ օղակներում իթվածնի ատոմի հիմնայնության հետւ

ЛИТЕРАТУРА — ЧРИЧИЪПЪРВЯПЪЪ

1 В. Т. Алексанян, В. З. Геворкин, Журн. «Структурн. химия», 15, нып. З. стр. 450, 1974. В Т. Алексанян, Е. Р. Разумова, А. П. Курбакова, С. М. Мостаковский, «Оптика и спектроскопия», 31, 69 г., (1971). В. Т. Алексанян, Докторская диссертации, ИНЭОС М., 1970. В А. Райт. Е. Р. Bissel, Spectrochim Acta, 16, 1960. В Е. Церрегі, Н. Регуде, Lieb Ann. Chem. 659, 81; (1962). Вет., 67(6), 554, (1963). В Г. Н. Горшкова, З. Б. Баринова, В. Т. Алексанян, В. А. Пономаренко, Изпестия АН СССР, сер. хим., 312, 1968. М. М. Мовсумваде, Г. В. Сергеев, А. Л. Шабанов, В. В. Смирнов, ДАН СССР, 206, 396 (1972).

21134U4UV UU2 ЧРЅПРВПРЪЪБРР ЦЧИТЬ ՄРИЗР ДВЧПРЗВЪБР ДОКЛАДЫ АКАДЕМИИ НАУК АРМЯНСКОЯ ССР

УДК 552.3

ПЕТРОГРАФИЯ

Р. А. Хоренян

К геологии Гехаротского интрузива

(Представлено академиком АН Армянской ССР И. Г. Магакьяном 21/1 1974).

Сведения о геологии Гехаротского интрузива приводятся в работах ряда исследователей (1-6). Однако эти работы, в основном, регнональногеологического характера.

В стратиграфическом разрезе района, согласно данным А. Р. Арутюняна, принимают участие: 1) юрская (?) вулканогенная свита: 2) песчано-глинистые отложения туроп-пижнего коньяка; 3) песчанистые мергели, известняки верхнего коньяка-маастрихта; 4) известняки, мелкогалечные конгломераты нижнего эоцена; 5) туфогенный флиш и порфириты среднего эоцена.

Гехаротский массив приурочен к юго-западному борту Севано-Ширакского синклинория, в западной части Памбакского хребта, слаая массив г. Цилкар с его отрогами. Внедрение Гехаротского интрушва на границе Севано-Ширакского синклинория с Цахкуняцким прст-антиклинорием контролировалось зоной сопряжения Анкаванскоо глубинного разлома СЗ простирания с поперечным Спитакским назломом.

Гехаротский интрузив представляет собой штокообразное тело, обнаженная часть которого заинмает площадь около 22 кв. км. Интруив сечет аулканогенную свиту, состоящую, согласно нашим исследонациям, из зеленокаменных измененных диабазов, миндалекаменных
вгитовых базальтовых порфиритов, андезитовых порфиритов. Среди
плотных диабазов распространены участки диабазовых брекчий, сцементированных лавовым цементом. В районе вершин Памб и Джангиар над диабазами находится толща пересланвающихся туфов, туфорекчий, туфопесчаников, туфогравелитов. Встречаются очень тонкие
епловые туфы, имеющие светло-серую, зеленовато-серую окраску.
Возраст этой свиты дискуссионен К. Н. Паффенгольц (1) относит ее
туронскому возрасту, О. А. Саркисян (5) к неокому, А. Р. Арутюнян—
поре, Р. А. Аракелян—к ордовику. А. А. Белов и С. Д. Соколов (9),
вучившие вулканогенную свиту, являющуюся восточным продолжени-

ем описываемой нами свиты, в пределах Мисханского массина—апаранская свита, считают ее пижие-среднемезозойской.

Контакт интрузни с вмещающей вулканогенной толщей активный. Наблюдается прошикновение гранитного материала в толщу днабазов в виде жил и небольших апофиз. По всему контакту отмечается перекристаллизация и окварцевание вулканитов.

На северо-западе интрузивного массива (район с.с. Памб Армянский, Лернаван) и на востоке (у с. Памб Курдский) как на вулканиты, так и на породы самого интрузива налегают верхнемеловые отложения, представленные глинами, известняками, глинистыми песчаниками, базальными конгломератами, песчаниками, песчанистыми мергелями В базальных конгломератах обнаружены гальки пород интрузива, всей его жильной серии и вмещающих вулканитов.

Относительно возраста Гехаротского интрузива существуют различные миения. К. Н. Паффенгольц (1) считает его третичным, А. Р. Арутюнян—к посленижнеконьякскому—доверхнеконьякскому времени. Г. П. Багдасарян, основываясь на наличие галек интрузива в базальных конгломератах турона и данных радиологических исследований, считает возраст интрузива нижнемеловым (127±5 млн. лет).

Становление интрузива всеми исследователями принимается как однофазное внедрение, сопровождающееся широко проявлениой его жильной серией. Наши исследования позволяют выделить в составе Гехаротского интрузива несколько фаз. На основании геологических взаимоотношений устанавливается следующая последовательность формирования массива:

Первая фаза: биотитово-роговообманковые кварцевые диориты,

Вторая фаза: лейкократовые кварцевые днориты,

Третья фаза: гранит-аплиты, пегматиты.

Биотитово-роговообминковые кварцевые диориты и тоналиты слагают преобладающую часть Гехаротского массива. Это мезократовые среднезернистые породы. Минеральный состав: плагиоклаз—50—53% (50—35% An), амфибол—8—14%, биотит—12—14%, кварц—13—22%, калиеный полевой шпат—от 3—4% до 8%.

В эндоконтактовых зонах пород первой фазы наблюдаются частые включения ксенолитов размерами от 2—3 до 15—20 см в днаметре. Иногда они образуют обособленные участки площадью в 4—5 кв. м. Ксенолиты представлены породами вмещающей вулканогенной свиты с разной степенью переработанности: от габбро-диоритов до кварцевых дноритов.

В 100—150 м к северо-востоку от с. Гехарот прослеживается вытяпутый в широтном направлении ксенолит мигматит-гранитов эопалеозойского возраста. Поскольку во вмещающей Гехаротский массив вулканогенной толще такие породы не наблюдаются, то нужно полагаты
что они вынесены из близко расположенного метаморфического фундамента.

Лейкократовые кварцевые диориты развиты к северо-востоку от Памбакского перевала и к западу от с. Гехарот, слагая небольшие штокообразные тела площадью от 20 до 100 кв. м и дайки мощностью от 4—5 до 30—40 см. Они отчетливо секут биотитово роговообманковые кварцевые диориты и тоналиты. Минеральный состав плагноклаз—79% (40—20% An), кварц—13%, единичные зерна амфибола и биотита до 3%, калиевый полевой шпат до 3%.

Гранит-аплиты, пегматиты широко развиты в эндоконтактовых зонах интрузива и секут новсеместно как породы 1-ой и 2-ой фаз, так и вмещающие вулканиты. Мощность гранит-аплитовых даек от 5 см до 2,5 м. Простирание их, в основном, меридиональное, изредка—широтное. Падение крутое 70—90.

Это розоватые, розовато-серые породы, плотные, мелко- и средневернистые. Минеральный состав: плагноклаз (30—8% Aп), калинатровый полевой шпат, кварц. Основная масса: калинатровый полевой шпат, альбит-олигоклаз, кварц В гранит-аплитах, секущих вулканогенную свиту, повсеместно наблюдается зона закалки шириной в 0,8 мм.

На южном склоне массива, в 500 м от с. Цалкар, по обе стороны ущелья наблюдаются смещения вдоль разлома параллельно расположенных даек, свидетельствующих о поздних тектонических подвижках и нарушениях, имевших место после становления интрузива.

Пегматиты представлены гнездообразными телами площадью от 4 до 20—25 кв. и и относятся к фазовым пегматитам. По составу выделяются кварц-полевошпатовые и кварц-слюдяные полевошпатовые пегматиты. Наблюдается прямая зональность пегматитов

Учитывая близость результатов определения абсолютного возраста вулканитов и пород Гехаротского интрузива, сходство их вещественного состава, а также некоторых породообразующих минералов, в частности амфибола, вулканиты и Гехаротский интрузив можно выделить как единый вулкано-интрузивный комплекс. Абсолютный возраст вулканитов—122 млн. лет*.

Кроме отмеченных пород, как в интрузиве, так и во вмещающих вулканитах широким развитием пользуются породы субвулканической фации представленные диабазовыми порфиритами, габбро-диорит-порфиритами, диорит-порфиритами, реже гранодноритами, андезитами и андезито-дацитами. Предыдущими исследователями отмеченные образования рассматривались как жильная серия питрузива (дайки второго этапа). Представлены они небольшими штокообразными телами площадью около 300 кв. м и дайками мощностью 1—5 м, протяженностью от пескольких сот до 2—3 км Простирание даек северо-восточное, падение крутое 60—70. Они пересекают породы всех фаз Гехаротского интрузива, имея резкие контакты с последними.

Породы субвулканической фации меланократовые, массивные,

Злесь и далее приведены результаты определении абсолютного возраста (вулваниты и даечные породы), выполненных в лабиратории ядернов геохронологии ВИМС-а.

мелкозеринстые. В них отчетливо отмечается зона закалки ингриной от 5 до 7 мм с направленной орнентацией вкраиленников вдоль контактовой оторочки.

По своему составу (отсутствие первичного кварца, основность плагноклаза—70—50% Ап, содержание пироксена, присутствие стекла в основной массе пород) отмеченные породы четко отличаются от пород интрузива и связаны в пространстве с тектоническими нарушениями СВ простирания, вдоль которых наблюдаются смещения гранит-аплитовых даек, раздробленность и перемятие пород 1-ой фазы Гехаротского массива, развитие карбонатовых прожилков.

Итак, все факты свидетельствуют о внедрении указанных пород субвулканической фации в уже застывший массив, т. е. об их определенном временном отрыве от формирования пород ранних фаз. Об этом же свидетельствуют результаты определения их абсолютного возраста (84±5 млн. лет для андезито-дацитовых даек и 70±7 млн. лет для габбро-диоритовых даек), четко отличающиеся от абсолютного возраста пород Гехаротского интрузива—127±5 млн. лет (⁵).

Учитывая временной отрыв отмеченных образований от формирования Гехаротского массива, приуроченность их к структурам секущим массив и смещающим породы его поздних фаз, отличия в вещественном составе этих образований и пород интрузива, мы выделяем указанные породы субвулканической фации в формацию самостоятельных малых интрузий в понимании Ф. К. Шипулина (10).

Аналогичная формация малых интрузий выделена Р. Л. Мелконяном (1971 г.) в Алавердском рудном районе.

Таким образом, проведенные нами исследования позволяют вмещающие вулканиты и Гехаротский интрузив выделить как единый вулкано-интрузивный комплекс, формирующийся в приподнятых выступах фундамента параллельно с пачалом прогибания Севано-Ширакского синклинория. Формация «самостоятельных малых интрузий» завершает допалеогеновый этап тектономагматического развития отмеченной структуры. Формация «самостоятельных малых интрузий» широко распространена в близких по возрасту и аналогичных по составу Анкаванском, Такярлинском и Агверанском интрузивных массивах.

Институт геологических наук Академии наук Армянской ССР

Ռ. Հ. ԽՈՐԵՆՑԱՆ

Դեղաբոտի ինտբուզիայի երկրաբանության ճարցի շուբքը

Գեղարոտի ինտրուզիայի և նրան պարփակող հրարխային ապարների ուսումնասիրման և նրանց բացարձակ հասակի որոշման հիման վրա, նրանջ անջատվում են որպես միասնական հրարխա-ինտրուզիվ կոմպլեքս, որի ձևավորումը տեղի է ունեցել Սևանա—Շիրակի սինկլինորիի իջեցման սկղրին վուգահեռ։

Գեղարոտի ինտրուգիայի կազմավորումը տեղի է ունեցել 3 փուլով՝

- 1. Բիոտիտ հորնբլենդային քվարցային դիորիտներ և տոնալիտներ.
- 2. Լեյկոկրատային քվարցային դիորիտներ.
- 3. Գրանիտ ապլիտներ և պեզմատիտներ։

Ինտրուզիայի թացարձակ հասակը 127±5 միլիոն տարի է։

քացի նշված փուլերից ուսումնասիրված շրջանում անջատվում են նաև ինքնուրույն փոքր ինտրուզիաների ֆորմացիա, որով ավարտվում է հիշյալ ստրուկտուրայի մինչպալեոգենյան տեկտոնա-մագմատիկական էտապրոն տարածակ հասակի որոշման տվյալների 84=5 և 70±7 միլիոն նրանք պատկանում են վերին կավճի շասակիւ «Ինքնուրույն փոքր ինտրուզիաները» լայն տարածում ունեն Հանքավանի, Թաքյաոլույի և Աղվերանի ղանգվածներում։

ЛИТЕРАТУРА — ԳГЦЧЦЪПЪРВЯБЪ

1 К. Н. Паффенгольц, Геологический очерк Кавказа, Изд. АН Арм. ССР, 1959. В. Н. Когляр. Памбак, Изд. АН Арм. ССР, 1958. В А. А. Габриелян, ДАН Арм. ССР, т. 34, № 2 (1961). В Г. П. Багдасарян, Труды комиссии абс. датирования тектономагматических циклов и этапов оруденения, XIII сес., Изд. «Наука», 1966. В О. А. Саркисян, Палеоген Севано-Шпракского синклинория, Изд. Ер. гос. ун-та, 1966. В Р. Арутюнян, «Известия АН Арм. ССР», сер. науки о Земле, т. XVII, № 6, 1964). В И. К. Волчанская, Р. Т. Джрбашян, Б. М. Меликсетян, О. А. Саркисян, М. А. Фаворская, «Советская геология», № 6, 1971. В Р. А. Аракелян, «Известия АН Арм. ССР», сер. геол, и географ. наук, т. Х. № 5—6 (1957). В 1. А. Белоя, С. Д. Соколов, «Советская геология», № 8, 1973. В Ф. К. Шипулин, Ингрузии и рудообразование, Изд. «Наука», 1968.

LVIII

1974

_

ГЕОХИМИЯ

УДК 550.4 549 35

Св. С. Мкртчян

Некоторые представления о форме нахождения свинца в сфалерите, полученном методом гидротермального синтеза

(Представлено академиком АН Армянской ССР И. Г. Магакьяном 19/11 1974)

Вопрос о связи химического состава сфалеритов с их физическими свойствами давно привлекает внимание исследователей В последние годы изучение физических свойств природных сфалеритов в связи с присутствующими в них элементами-примесями все чаще проводятся на синтетических аналогах, являющихся хорошим объектом для физикоминералогического исследования.

Наши экспериментальные исследования были паправлены на внесение некоторой ясности в вопрос о форме нахождения свинца в сфалерите и вызванных им изменениях физических свойств последнего

По поводу формы нахождения свинца в сфалерите высказываются весьма противоречивые мисния: большинство исследователей единодушны в своем миении, что свинец в сфалерите может находиться только в виде механической примеси, в виде субмикроскопических включений минеральной формы свинца. Возможность вхождения свинца в решетку сфалерита ставится под сомнение из-за различия их кристаллохимических свойств. На этом основании даже малые количества свинца, обнаруженные в природных образцах сфалеритов, связываются с включениями собственно-свинцовых минералов. Есть и другое миение (1.2): свинец, вызывающий люминесценцию сфалерита находится в последнем в нонной форме и вступает в определенные взаимоотношения с решеткой сфалерита.

На первый взгляд, трудно провести выбор между столь различными представлениями. На наш взгляд наибольший интерес имеют представления об нонной форме нахождения овинца в сфалерите, так как они в какой-то мере объясняют вызванные свинцом аномалии физических свойств сфалеритов (окраска, люминесценция, электрические свойства и др.). Ниже речь пойдет об исследованиях физических свойств сфалеритов, связанных с примесью овинца, основанных на представлении об нонной форме нахождения его в решетке сфалерита Попытаемся в самом общем виде, но с позиции молекулярно-кинети.

ческой теории рассмотреть вопрос о возможности вхождения свинца в решетку сфалерита.

Сфалериты были получены методом гидротермального синтеза (3). Принцин экспериментов заключался в том, чтобы последовательно изменять копцентрацию вводимой в раствор примеси свинца и наблюдать изменение физических свойств получаемых кристаллов сфалеритов. Было установлено, что свинец, присутствующий в сфалерите в виде примеси, оказывает существенное влияние на физические свойства последнего; в частности на его окраску, которая меняется от светлого до темно-бурого цвета в зависимости от содержания свинца, на электрические и люминесцентные свойства. В сфалеритах наблюдается прямая зависимость интенсивности зелено-голубой люминесценции от концентрации ионов овинца. Зелено-голубое свечение появляется при концентрации Pb2 выше 0,5%; при содержании свинца менее 0,01% люминесценция резко ослабевает до полного исчезновения (4). Очевидным из экспериментов становится то, что аномални физических свойств сфалеритов, вызванные примесью свинца, определяются прежде всего формой нахождения его в сфалерите. Известно, что ловедение элементов цинка и свинца в процессе минералообразования, особенности строения минералов этих элементов, а также изоморфные отношения между ними определяются прежде всего важнейшими кристаллохимическими свойствами самих элементов.

Данные по кристаллохимии свинца и цинка приведены в табл. 1. Данные таблицы говорят о несостоятельности непосредственного замещения цинка в сфалерите свинцом. Вместе с тем известно, что способ-пость люминесцировать появляется в результате изменения энергетического состояния минерала, вызванного нарушением периодичности структуры кристалла под действием присутствующих примесей. Так, из многочисленных исследований по люминесценции искусственных сфалеритов стало известным, что ряд элементов: In, Ga, Cu, Mn, Cd, Sn и др. являются активаторами длиноволновой люминесценции сфалеритов и входят в решетку последних. Относительно свинца, как активатора в ZnS—люминофорах высказывались различные предположения.

Возможно нон свища (Pb³⁺) в сфалеритах является интерстициальной примесью (междуузельной).

С этой точки зрения большой интерес представляет реиттеновский анализ образцов сфалеритов с определением параметра элементарной ячейки сфалерита.

Определения параметроп элементарной ячейки сфалеритов проводились в камере РКД диаметром 57,3 с Си-ым излучением с NaCl в качестве внутреннего стандарта. Диаметр образца 0,3 им, экспознция съемки 4—5 часов. Рентгенограммы измерялись на компораторе ИЗА-2 с точностью 0,01 мм. Ошибка определения константы решетки ±0,001 Å. Справедливо отметить, что при данных условнях съемки большая точность результатов не может быть практически достигнута, но вместе с тем полученные данные позволяют наблюдать тенденцию

Элементы	Валентность ка-	Величина ионных раднусов по Бе- лову Н В. и Бо- каю Г. Б.	Энергия кристал- лической решет- ки (эк) по ферс- ману	Координационные полизары струк- турных елиниц	Орбитальная кон-фигурания	Связь	Длина связи (меж- атомное рассто- янне	Сумма раднуса нонов. А	Сокращение рас- стояния в крис- талле.%
Zn ² + Pb ² +	2+	0.83	2.20	Zп тетравдр S Pb октавар S	sp) d²sp³	Zn-S Pb-S	2.35	2,65 3,08	11.3 3.9

Таблица э
Зависимость величины ао сфалерита от содержания свинца в нем

Ne oop.	Солера	Величина			
767 4 00p.	Pb	Fe	Mn	Cd	a ₀ (A)
22	0.075	0.24	0.0005	0.0036	5,391 ±0,001
28	0.03	0.01	0 -00025	0.001	5.391 - 0.002
68	0-1	0.06		0.0054	5.396 ± 0.001
71	0.5	0.02	440	0.009	5.397 +0.001
19	2	0.2	0.0028	0.0065	5.398 + 0.001
21	2	0.02	_	0.004	5.398 ± 0.00

увеличения параметра элементарной ячейки сфалерита с увеличением количества свинца в нем. Расшифровка дебаеграмм и вычисление размера элементарной ячейки (a₀) приведены в табл. 2. Из таблицы видно, что на a₀ влияет концентрация свинца.

Институт геологических наук Академин наук Армянской ССР

ud. u. narsasur

Ուոշ պատկեւացումնեւ նիդւորեւմալ սինթեզի մեթողով ստացված սֆալեւրտնեւում կապաւի առկայության ձևի մասին

Մֆալերիտների Դիդորերություններ և այլն։ Հայտնի է, որ միներալի ֆիդիկահյունները նպատակ են ունեցել պարզիրաներում առաջացրած ֆիդիկական Հատկությունների փոփոխությունների Հարցը։ Հաստատված է, որ խառնությի Հատկությունների փոփոխությունների վրա, մասնավորապես՝ գունավորման, լյումի հուններիտների հունների վրա, մասնավորապես՝ գունավորման, լյումի նատկությունների նպատան արկա կապարն գգալի ազգեցություն է թողնում նրա հունները նպատան հունարի արկանատկությունների նման փոփոխությունները կախված են առկա խառնութտասերական բջջի պարամետրերը։

հարտիստինության աջին ժումենիրան ընտարերությը պրցարուղ է ոֆանրերարբերի արտարանին արտարանում է ութանրիաների արտարանին և արտարանին արտարանին արտարանին արտարանին արտարանին արտարանին արտարանին արտարանին արտարանին արտարանության արտարանին արտարաններին արտարանին արտարանին արտարանին արտարանանին արտարաններին արտարանին արտարանին արտարանին արտարանին արտարանին արտարանին արտարաններին արտարանին արտարաններին արտարանին արտարանին արտարաններին արտարանին արտարանին արտարաններին արտարանին արտարանին արտարանին արտարանին արտարանին արտարանին արտարանին արտարանին արտարաններին արտարանանանաններին արտարաններին արտարաններին արտարանանաններին արտարանա

ЛИТЕРАТУРА — ЧРИЧИНИ В ПЕРВИЕТ

¹ Э. И. Боев и др. Оптика и спектроскопия, т. 22, вып. 4, 1967. ² 1. М. Гуребич п др., Ж. Аналитическая химия, т. ХХV, вып. 8. (1970). ¹ Св. С. Мкртчян, «Известия АН Арм. ССР», № 3, 1971. ¹ Св. С. Мкртчян и др., ДАН Арм. ССР, т. 53, № 1. (1971).

5

УДК 58 039 1

ГЕНЕТИКА

В. А. Авакян, А. А. Мурадян

Модификация лучевого поражения полиплоидного ряда пшеницы— кофенном

(Представлено академиком АН Армянской ССР В. О. Гулканяном 17/1 1974)

В ряде работ показана большая устойчивость полиплоидных видов растений к облучению ($^{1-4}$). Однако данные последних лет о радиочувствительности растений различной плоидности содержат известные противоречия ($^{5-8}$).

Результаты собственных исследований по радиоустойчивости полиплоидных форм пшеницы выявили большую чувствительность диплоидных пшениц к облучению, а тетраплоидная пшеница по радиочувствительности существенно не отличается от гексаплоидной (9,10).

В настоящее время в радногенетических исследованиях в качестве ингибитора систем репарации используется кофени (12-16). На высших растениях при гамма и рентгеноблучении показано, что кофени значительно увеличивает число клеток с аберрациями (17,18).

Целью настоящей работы было изучение различий в радиочувствительности полиплондного ряда пшеницы при ингибировании кофенном. Одним из основных моментов при выполнении работы было выявление связи между радиочувствительностью и восстановительными процессами при ингибировании кофенном систем репарации у полиплондных форм ишеницы.

В эксперименте использовались три ишеницы естественного полиплоидного ряда: культурная однозернянка (Т. monococcum L., 2n=14), твердая ишеница (Т. durum Desf, 2n=28), и компактная ишеница (Т. compactum Host, 2n=42).

Облучение производилось рентгеновским аппаратом РУМ-11 с напряжением тока на трубке 185 *кв*, сплой тока 15 мА. Мощность дозы равнялась 260 *рент/мин*. Доза облучения 10 *кр*.

Часть облученных семян помещалась в 0,1 и 0,2%-ные растворы кофенна и через 18 час. после облучения отмывалась. Воздействие кофенна на необлученные семена исследовалось отдельно. Контролем служили семена, не подвергнутые облучению. Семена пшеницы про-

ращивались в чашках Петри в течение десяти дней. Опыт был поставлен в двух повторностях, были получены сходные результаты.

Показателями повреждения служили всхожесть семян, угнетенность роста проростков, длина главного кория, общая длина и количество всех корней.

Результаты сравнительного изучения полиплондных форм ищеницы показывают, что радиочувствительность диплондной формы более высокая по сравнению с тетраплондными и гексаплондными пшеницами по всем показателям опыта.

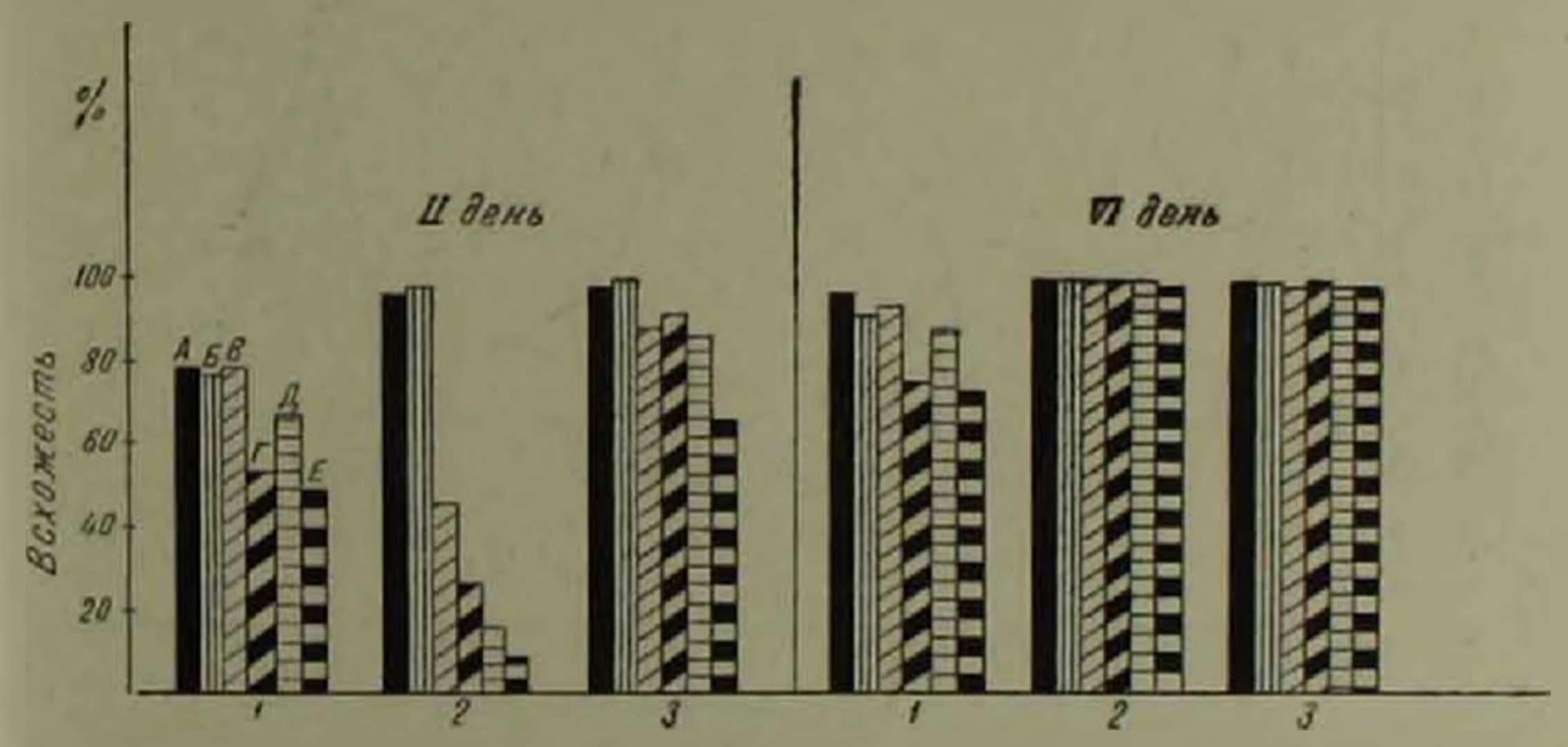


Рис. 1. Динамика всхожести семян пшеницы. I—диплоидная; 2—тетраплондная; 3— гексаплоидная пшеница. Варианты. A—контроль; B—облуч. 10 кр.; B—кофени 0,1%; I—облуч. 10 кр. + кофени 0,1%; I—кофени 0,2%; I—облуч. 10 кр. + кофени 0,2%

На рис. I изображена динамика всхожести семян на 2-ой и 6-й день. Совместное действие кофенна и рентгеноблучения на всхожесть в первый срок прорастания семян показывают, что ингибирующее действие кофенна у тетраплоида выражено более сильно. На 2-ой и 3-й срок учета всхожести семян наблюдается выравинвание и постененное восстановление повреждения у тетраплоида, и в особенности у гексанлонда. В то время, как у диплонда при совместном воздействии кофенна и рептгеноблучения всхожесть семян очень понижена по сравнению с вариантами, где испытывалось воздействие рептгеноблучения и кофенна в отдельности.

Результаты определения длины проростков на 6-ой и 10-й день вегетации показаны на рис. 2. Совместное воздействие рентгеноблучения и кофенна на Т. то при совместном воздействии рептгеноблучения и кофенна 11,1 и 13,6 см. то при совместном воздействии рептгеноблучения и кофенна (0,1 и 0,2%-ный раствор), она равна 1,5; 1,2 и 1,7; 1,2 см соответственно 0,1 и 0,2%-ные растворы кофенна сами по себе уменьшают длину проростков до 9,3 и 10,5 см, а рентгеноблучение—до 3,5 и 5,8 см. Результаты исследований длины проростков при совместном воздействии

рентгеноблучения и кофенна у Т, durum Desi (2n 28) и Т. compactum Host (2n 42) на 6-ой день равна 9,7 см. на 10 и—14,3 см. а при сов местом воздействии рентгеноблучения и кофенна—5,8 и 4,1; 13,4 и 9,0 см. соответственно. Аналогичные результаты получены у гексапло ида.

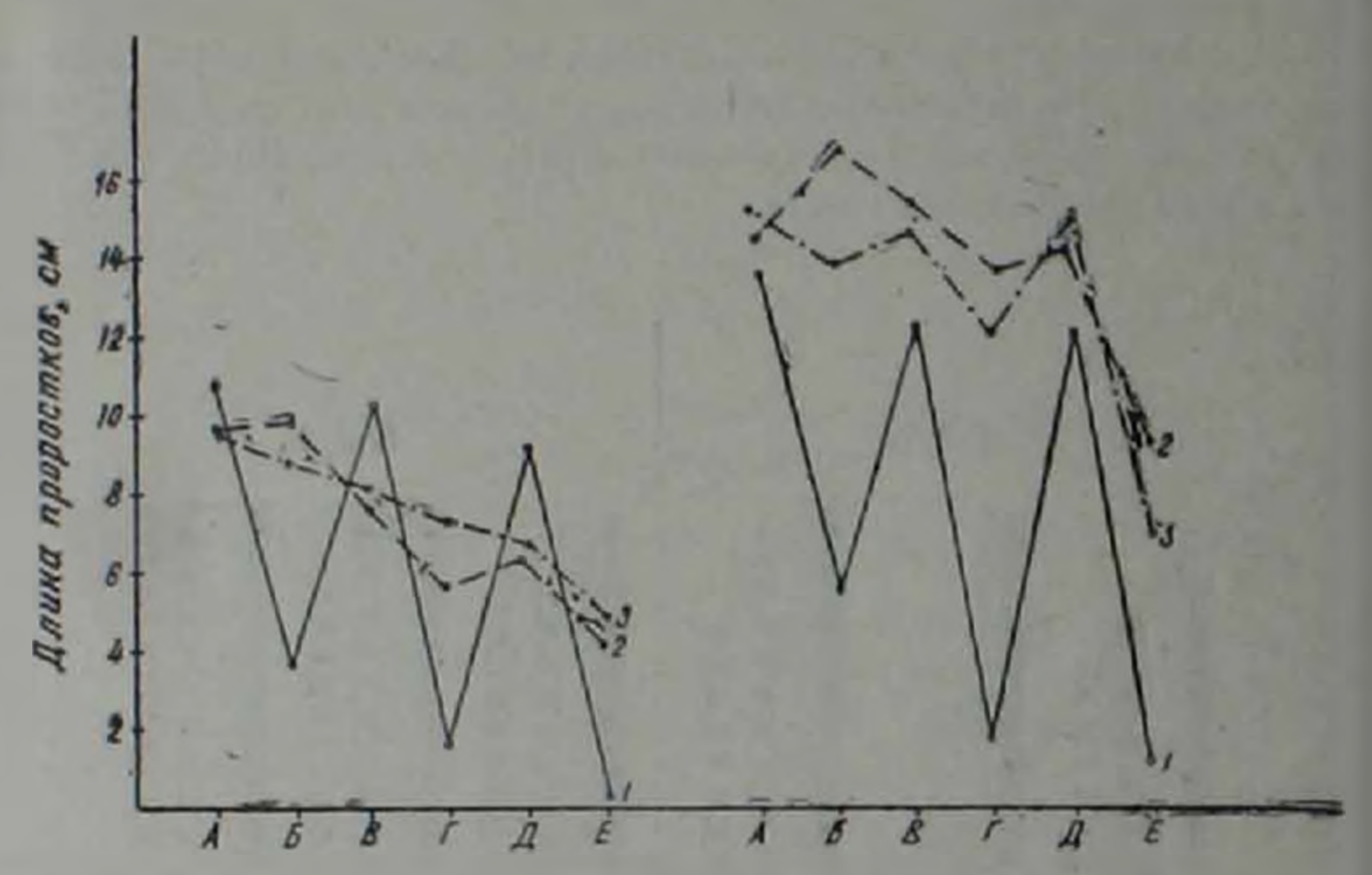


Рис. 2. Длина проростков растений пшеницы (обозначения на рис. 2 - 1 те же, что на рис. 1)

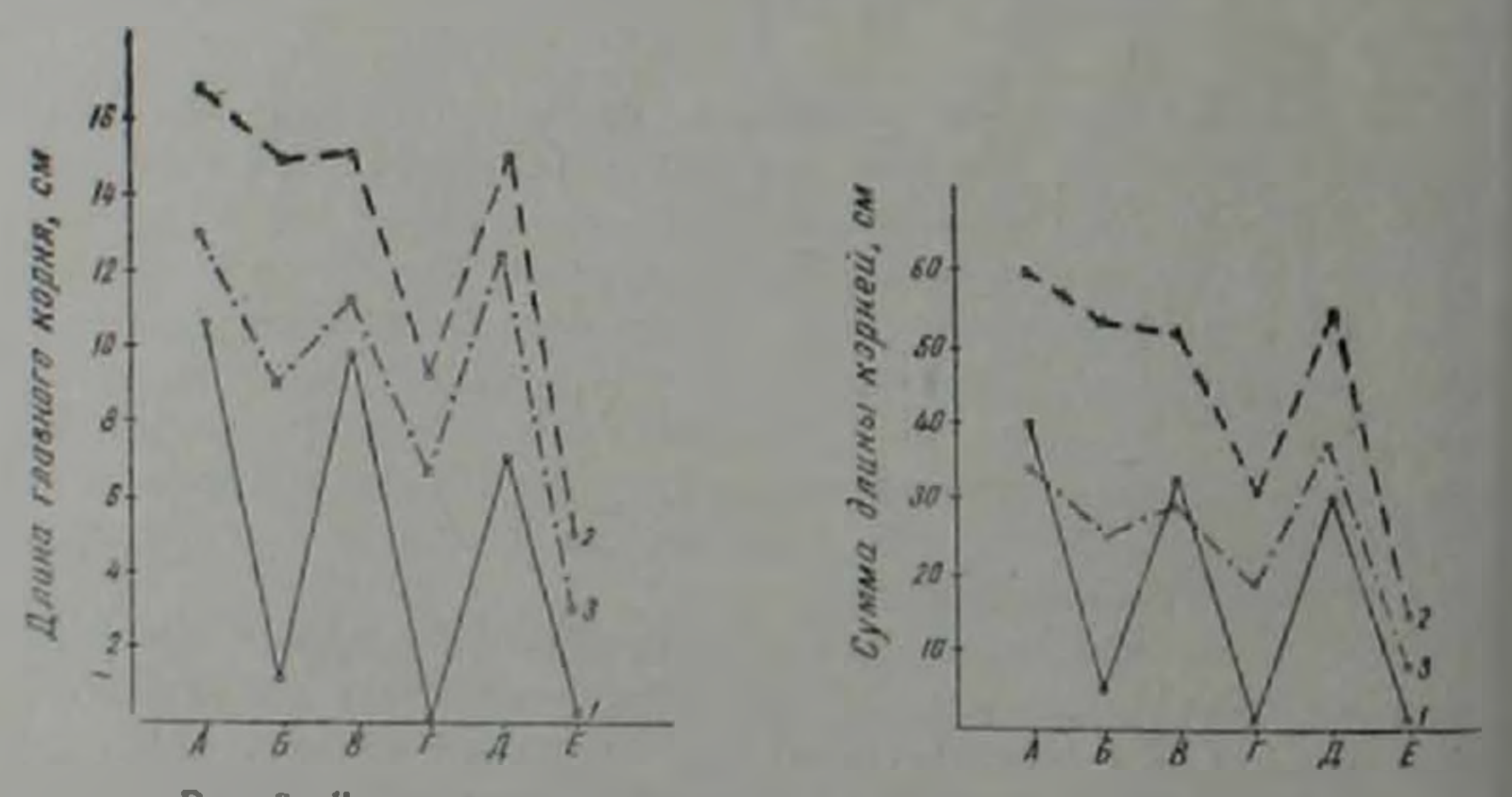


Рис. 3. Длина главного кория и сумыв алины корией пшеницы

Длина главного корня и сумма длины корней (рис 3) у ишеницы с разным набором хромосом изменилась соответственно: у Т. пюпосос cum L. при совместном воздействии рентгеноблучения и кофенна длина главного корня снизилась с 11,8 до 0,6 и 0,5 см, а сумма длины всет

корней с 40,4—1,2 и 1,0 см. у Т durum Desí. и Т. compactum Host разница незначительна.

На количество корией (рис 4) полиплоидного ряда ишеницы как рентгеноблучение, так и совместное воздействие рептгеноблучения и кофенна не оказали столь сильного воздействия, как на всхожесть семян и рост проростков. Только у Т. топососсит L. количество корией в контроле равно 4,4, при облучении—2,99, а при совместном воздействии рентгеноблучения и кофенна оно составляет 2,3 и 2,0 соответственно.

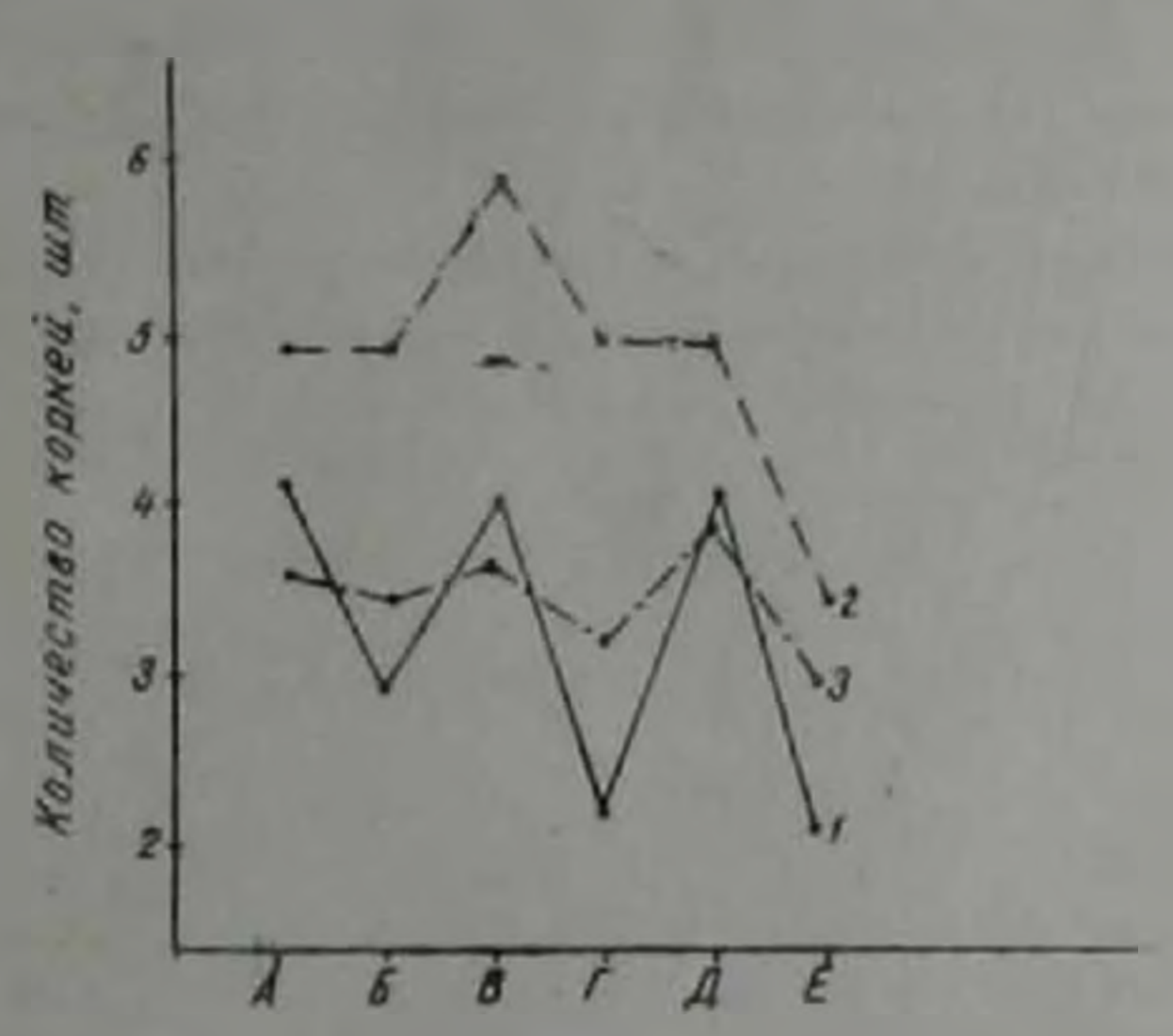


Рис 4 Количество корней растений пшеницы

На механизм действия кофенна, хак ингибитора рапарации, высказаны две точки эрения: взаимодействие кофенна с ферментами, ингибирующие процессы выщепления пиримидиновых димеров и взаимодействие кофенна с участками ДНК.

Различия в радиочувствительности растений могут быть обусловлены различиями в стенени первичного поражения и пострадиационного восстановления этих поражений. Показателем интенсивности репарационных процессов может служить величина отношения торможения ростовых процессов в отсутствии и присутствии ингибитора Установлено, что это отношение имеет относительно одинаковую величину для радиорезистентных и радиочувствительных форм.

Таким образом, полученные данные позволяют предполагать, что основным преимуществом тетра- и гексаплондных ишениц перед дипло- идными является меньшая первичная поражаемость генетического аппарата при облучении покоящихся семян.

Лаборатория индуцированного мутагенеза растения. Академин наук Арминской ССР

Ցոշենի պոլիպլոիդ չաշքի ռադիացիոն վնասվածքի մոդիֆիկացումը կոֆեինով

Խադիոզդայնության և վերականդնման պրոցեսների միջև եղած կապրետատայտելու ամար ուսումնասիրվել է ռենտգենյան ճառագայթների ազդեցությունը ցորենի դիպլսիդ, տետրապլոիդ և հեթսապլոիդ տեսակներին պատկանող բույսերի վրա։ Որպես վերականգնման պրոցեսների ինգիրիտոր օդտագործել են կոֆեինի 0,1 և 0.2% լուծույթները։ Ինդիրիտորի հետոադիա. ցիոն ազդեցությունը բոլոր տեսակի ցորենների մոտ զպալի չափով մեծադրել է ռադիացիոն վնասվածըը։

նն թաղորվում է, որ տետրա- և հեքսապլոիդ ցորենների առավելությունը դիպլոիդների նկատմամբ անդիսանում է ճառադայթահարման ժամանակ նրանց գննետիկական ապարատի ցածր սկզբնական վնասվելը։

ЛИТЕРАТУРА — ЧРИЧИЦИПЬМВИБЬ

¹ Л. П. Бреславец. Э. Ф. Малешко, ДАН СССР, 2 (1958). ² В. В. Сахаров и др В с6: Радиационная генетика, М., 1958² А. Mutzing, Proc. Indian Acad. Sci. 34, 1951 А. И. Sparrow et all, Science, 141. 163, 1963. ³ D. Sagathesan, G. R. Sastry, K. Indian I. Genet. Plant Breeding, 23–1963. ⁴ J. Nishiyma et all, Sab. Breeding, 12, 1962. ⁵ В Г. Володин, В с6: Экспериментальный мутатенез, Минск. 1957. ⁸ К. С. Вога. Proc. 11, U. N. Int. Conf., Puea, 27, 1958. ⁹ А. А. Мурадян. В. А. Авакин, Биол. журнал Армения, 4, 1973. ¹⁰ А. А. Мурадян, В с6: Мутатенез растении. 2, 1974. ¹¹ М. Виздалова, Яновска и В. Д. Жестиников, Цитология, 1, 19, 1, 1972. ¹² В. П. Парибок, Г. В. Касинова и Е. Л. Бандас, Цитология, т. 9, 12, 1967. ¹³ W. Нагт, Photochem. Photobiol. 5, 1966. ¹⁴ М. N. Patrick and R. H. Наунов, Radial, res. 23, 1964. ¹⁵ D. M. Shankell, I. Bakteriol. 84, 3, 1962. ¹⁶ С. Н. Стаска, Мит. res. 5, 33, 1968. ¹⁷ Е. Э. Гина си. С. И. Заичкина, Г. Ф. Аптикаева, Разнобнология, т. 13, 4, 1973. ¹⁸ И. Н. Ели енко, Разнобнология, т. 10, 1, 1970.

ДОКЛАДЫ АКАДЕМИИ НАУК АРМЯНСКОЯ ССР

I.VIII

уДК 630:551.5(022)

АГРОМЕТЕОРОЛОГИЯ

Р. С. Мкртчян, III. А. Арустамян

Метод долгосрочного прогноза урожайности зерновых культур в Армянской ССР

(Представлено академиком АН Армянской ССР Г С Давтяном 25/111 1974)

Многими исследователями (1 6) выявлены связи между урожаем зерновых культур и параметрами погодных условий конкретного года (осадки, температура и влажность воздуха, влагозапасы почвы, гидротермический коэффициент, транспирационный коэффициент, испаряемость и др.), а также бнометрическими и агротехническими показателями (сорта, густота растений, агротехника и т. п.).

В Ереванском отделе Закавказского научно-исследовательского гидрометеорологического института в период 1969—1971 гг. разработана методика долгосрочного прогноза урожайности озимой пшеницы по республике, которая по решению Центральной методической комиссии Главного управления гидрометслужбы в настоящее время используется в оперативной работе по обслуживанию планирующих и сельскохозяйственных организаций.

Установлено, что для прогнозирования урожайности озимой пшешцы по Армянской ССР с трех, двух и месячной заблаговременностью надежными инерционными факторами могут служить: густота посевов на 1 м² при возобновлении вегетации и трубковании, запасы продуктивной влаги при возобновлении вегетации и, наконец, сумма осадков за периоды посев возобновление всгетации, посев трубкование, посев колошение.

Немаловажное значение приобретает прогноз урожайности всех терновых культур, площадь посевов которых (около 170 тыс. составляет 44% всех посевных площадей республики.

Была поставлена задача—использовать методику долгосрочного прогноза урожайности озимой пшеницы для составления прогноза урожая всех зерновых культур по республике, учитывая то обстоятельство, что носевные площади и валовой сбор озимой пшеницы составляют более 50% от всех зерновых.

Были использованы данные урожайности озимой ишеницы и зерновых культур по Армянской ССР за период с 1953 по 1972 годы и построен корреляционный график зависимости между инми (рис. 1). На графика видно, что за последние 20 лет урожайность всех зерновых и озимой пшеницы колебалась соответственно в пределах 5,7—15,8 и 5,2—17,2 ц/га, причем высокие урожан получаются начиная с 1966 г., когда были впедрены новые высокоурожайные сорта озимой пшеницы Безостая I и Мироновская 808.

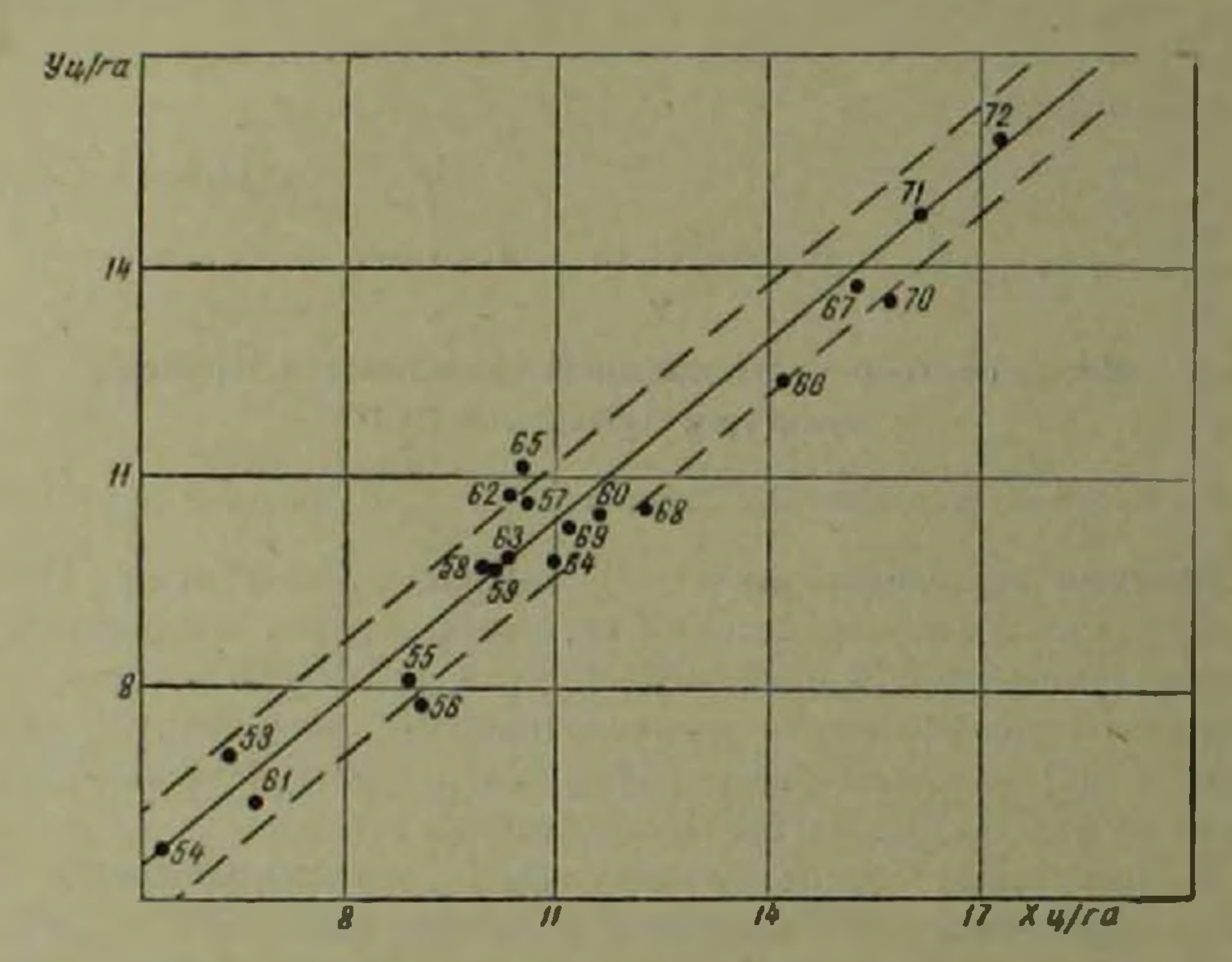


Рис. 1. Зависимость между величинами урожайности всех зерновых (Y) и озимой пщеницы (X) по АрмССР за период 1953—1972 гг. Пунктирными линиями показаны пределы колебания средней урожайности. Около точек обозначены годы

За последние 20 лет в целом по республике наиболее благоприятные погодные условия для получения высоких урожаев озимой пшеницы и зерновых были в 1960, 1964 и 1972 гг., а неблагоприятные—в 1953, 1954, и 1961 годах. Низкая урожайность 1954 г. (5,2 ц/га) была обусловлена суровыми зимними условиями. Морозы при маломощном снежном покрове вызывали значительную гибель посевов озимой пшеницы. Весной число растений на 1 м² не превышало 250—350, что уже исключало получение высокой урожайности озимых даже при благоприятных весение-летних условиях. Низкая урожайность в 1953, 1961 годах была связана е осенними и весение-летними засушливыми условиями на значительной территории республики.

Уравнение, характеризующее связь между средней урожайностью зерновых и озимой ишеницы, имеет следующий вид:

$$Y = 0.84X + 1.2,$$
 (1)

где Y—прогнозируемая урожайность всех зерновых культур, $4/\epsilon a$; X—рассчитанная урожайность озимой ищеницы в республике, $4/\epsilon a$.

Коэффициент корреляции—r=0,98±0,009. Обеспеченность уравнения 94,6%.

Результаты трехлегнего (1971—1972 гг.) испытания методики долгосрочного прогноза урожайности озимой пшеницы показали, что оправдываемость прогноза довольно высокая и составляет 90—98%. Поэтому для прогноза урожайности всех зерновых культур при помощи уравнения (1) или по графику (рис. 1) используется расчетная величина урожайности озимой пшеницы.

Методика была испытана по материалам 1973 года, когда был собран высокий урожай (табл. 1).

Таблица I Результаты испытания методики долгосрочного прогноза урожайности всех зерновых культур по материалам 1973 года

Сроки составления	Урожайнос		Отклонение прогнозирован-	Оправдывае- мость прогноза, %	
прогноза	прогнозирован-		ной урожайнос- ти от фактиче- ской, ц/га		
При возобновлении ве- гетации озимых При трубковании При колошении	15.6 14.9 15.3	16.5	-0.9 -1.6 1.2	94.5 90.0 92.7	

Из данных табл. І видно, что оправдываемость прогноза средней урожайности зерновых культур по Армянской ССР с трех, двух и месячной заблаговременностью довольно высокая (90—94%) и это дает право использовать данную методику в оперативном агрометеорологическом обслуживании планирующих и сельскохозяйственных организаций республики.

Ереванский отдел Закавказского научно-исследовательского гидрометеорологического института

Ռ. Ս. ՄԿԻՏՉՅԱՆ, Շ. Ա. ԱՌՈՒՍՏԱՄՅԱՆ

Հացանատիկային կուլտուբաների բեռքատվության երկաբաժամկետ կանխուրչման մեթողը Հայկական ՍՍՀ պայմաններում

Համեմատելով վերջին 20 տարիների (1953—1972 PP.) հանրապետու-Pյունում ստացված աշնանացան ցորենի և հացահատիկային կուլտուրաների թերքատվության մեծությունները պարզվել է, որ հիշյալ մեծությունների միջև դոյություն ունի սերտ կոռելլյցիոն կապո

Տվյալների հուսալիությունն որոշելու համար այն ենթարկվել է մաթեմա-

տիկական մշակման և հաշվարկվել ռեգրեսիայի հավասարումը։

ինրոնացիայի շուրջ 1—3 ամիս առաջ (աշնանացանների վեզետացիայի վերսկսման, թույսնրի ցողունակալման և հասկակալման ժամանակ) մեր կողմից մշակված մեկողով մեծ ճշգրաուկյամբ (90—98%) որոշելով աշնա-

րում Հոդվածում բերված հավասարման օգնությամբ հաշվարկվում է նաև հա րում հոդվածում բերված հավասարման օգնությամբ հաշվարկվում է նաև հա

Համեմատելով 1973 ի, կանխորոշված և փաստացի բերքատվության ժեծությունները, ստացվել է բավականին հուսալի արդյունք։ Բերքատվության փաստացի և կանխորոշված ժեծությունների տարբերությունը կազմում է 7,3—10%։

ЛИТЕРАТУРА — ЧРИЧИТОВ РВОВЪ

1 В. П. Дмитриенко, Составление прогнозов урожайности зерновых культур на Украине. В кн. Опыт гидрометеорологического обслуживания сельского хозяйства, М., 1971. 1 Р. Константинов, В. П. Петькова, Тр. УкрНИГМИ, вып. 72, Гидрометеоиздат, М., 1968. 1 Р. Константинов, В. П. Петькова, Тр. УкрНИГМИ, вып. 78, Гидрометиздат, М., 1968. 4 В. Свисюк, В ки. Опыт гидрометеорологического обслуживания сельского хозяйства, М., 1971. 5 Е. С. Уланова, Методическое пособие по составлению долгосрочного прогноза урожая озимой пшеницы в районах черноземных почв Украины, Северного Кавказа и Молдавии. Гидрометиздат, Л., 1965. 6 Е. С. Уланова, методические указания по составлению долгосрочных агрометеорологических прогнозов средней областной урожайности озимой пшеницы на Украине, Северном Кавказе, в Молдавии и Нижием Поволжье, Гидрометеоиздат, Л., 1969.

УДК 2.23.10.3

ФИЗИОЛОГИЯ РАСТЕНИЯ

Член-корреспондент АН Армянской ССР В. О. Казарян, А. А. Гаспарян, А. Г. Абрамян

О некоторых особенностях роста высокорослого и низкорослого сортов кукурузы

(Представлено 3/IV 1974)

Различие в темпах роста растений, кроме условий внешней среды, определяется также и генетическими особенностями, онтогенетическая реализация которых, как известно, осуществляется через определенные морфо-физиологические проявления. В таком случае неодинаковый теми и продолжительность роста высокорослых и низкорослых сортов растений должны быть связаны в первую очередь с жизнедеятельностью корневой системы, как органа поглощения и превращения минеральных элементов и синтеза разнообразных метаболитов, необходимых для роста (1 3 и др.). Поэтому в настоящее время скорость роста любого органа растений рассматривается как результат корнелистовой функциональной корреляции (16) и, следовательно, с точки зрения современной физиологии, низко- или высокорослость растений следует связывать с неодинаковым темпом развития корней и надземных органов в различные периоды онтогенеза. Следует полагать, что у высокорослых сортов энергия роста определяется повышенным корнелистовым отношением, т. е. высокой корнеобеспеченностью, так как этот показатель играет существенную роль и в активации общен жизнедеятельности самих листьев (6,7). Этому показателю в последнее время уделяют особое винмание селекционеры, считая диагностической особенностью урожайности растений (5-10).

Для экспериментальной проверки этого предположения нами были предприняты некоторые сравнительные исследования скорости роста надземных органов и корней у высокорослого (имеретинский гибрид) и низкорослого (рисовая-643) сортов кукурузы. Растения выращивались в условиях водной культуры и через определенные сроки определялись линейный рост стеблей и корнеи, а также сухой вес указанных органов. Проводилось 4—5-кратное определение, полученные данные обрабатывались статистически. Для более точной интерпретации полученных результатов в другой серии опытов были определены также содержания эндогенных ауксинов и ингибиторов в надземных органах и корнях опытных растений.

303

Учет линейного роста надземных органов и корпей высокорослого и низкорослого сортов кукурузы (рис. 1) наглядно показывает, что в ранние перподы онтогенеза (до 28-дпевного возраста) энергия роста корпей у высокорослого сорта отстает по сравнению с низкорослым. За весь этот перпод и даже до 30-дневного возраста высокорослый сорт кукурузы показывает сравнительно медленный рост стеблей. В данном

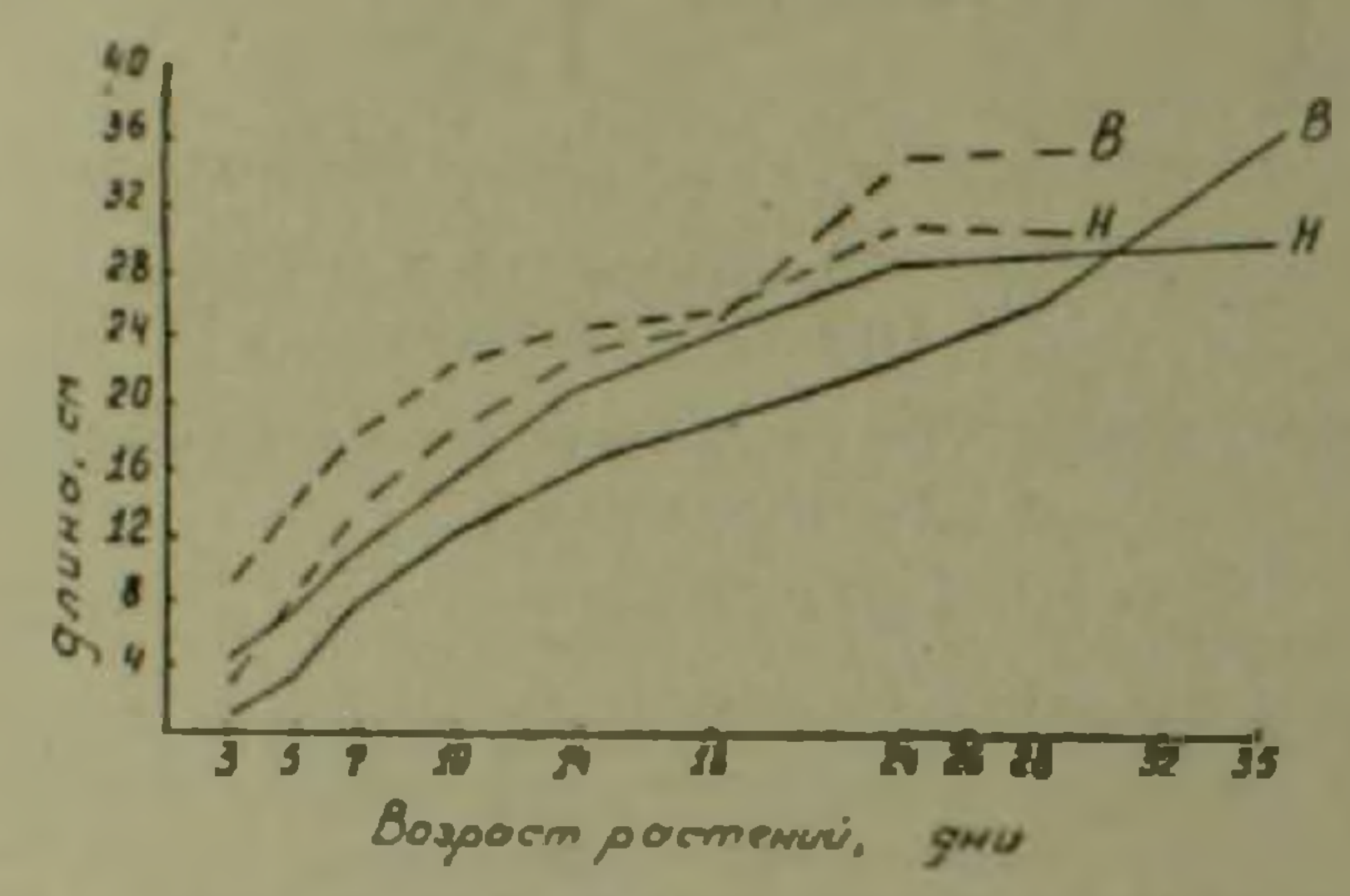


Рис 1 Динамика линейного роста корией (————) и стеблей (————) высокорослого (В) и инэкорослого (Н) сортов кукурузы

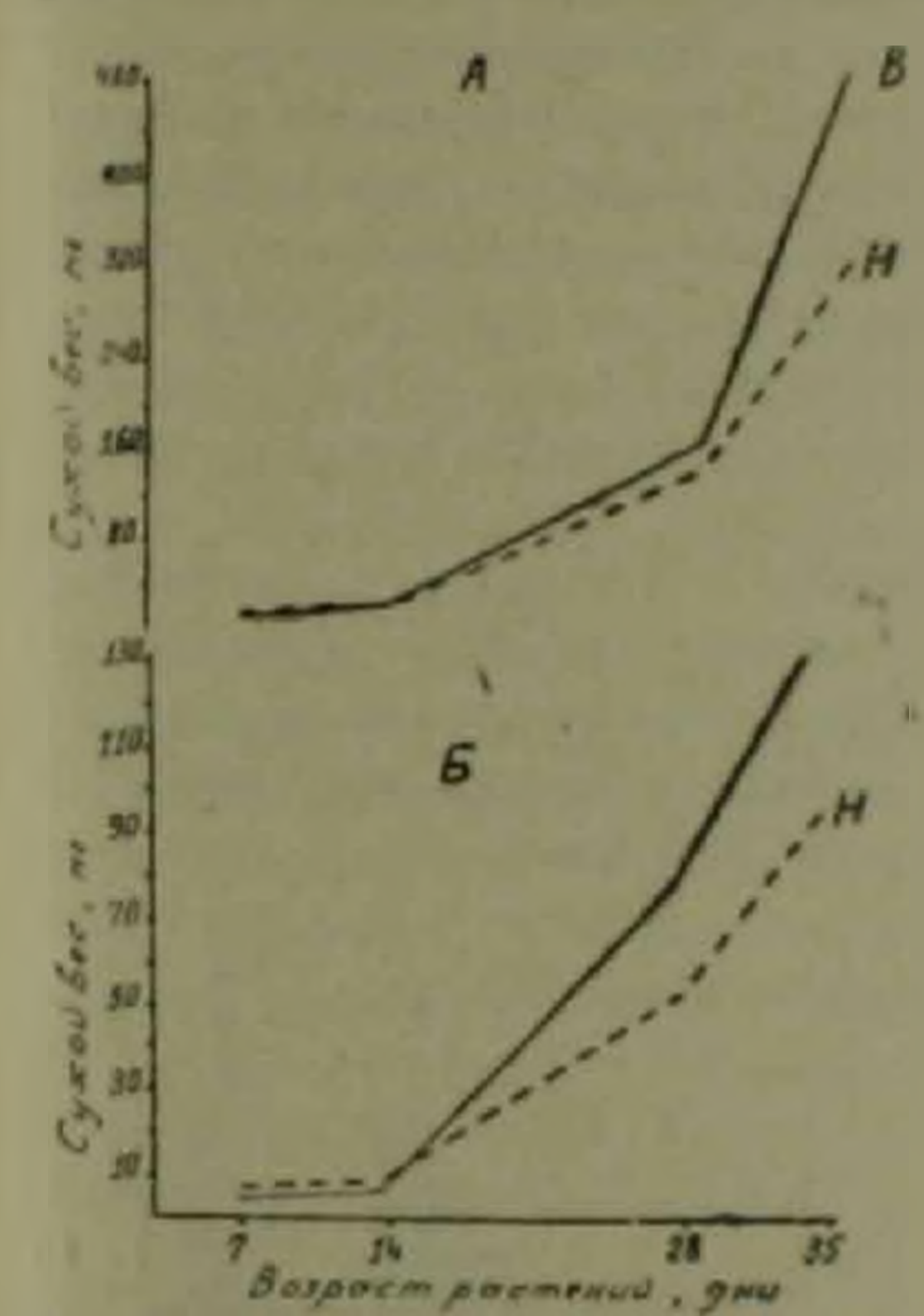
случае слабый рост корней предшествует и может обуславливать замедленный рост стеблей Далее, начиная с 20-дневного возраста, скорость роста корней у высокорослой кукурузы становится выше, чем у карликового сорта. В результате (начиная с 30-дневного возраста) усиливается и прирост стеблей, преобладая пад таковым у инзкорослой кукурузы.

Таким образом, как корни, так и стебли у низкорослых индивидов характеризуются энергичным ростом лишь в ранем периоде онтогенеза. В дальнейшем рост этих растений в целом отстает от высокорослых индивидов.

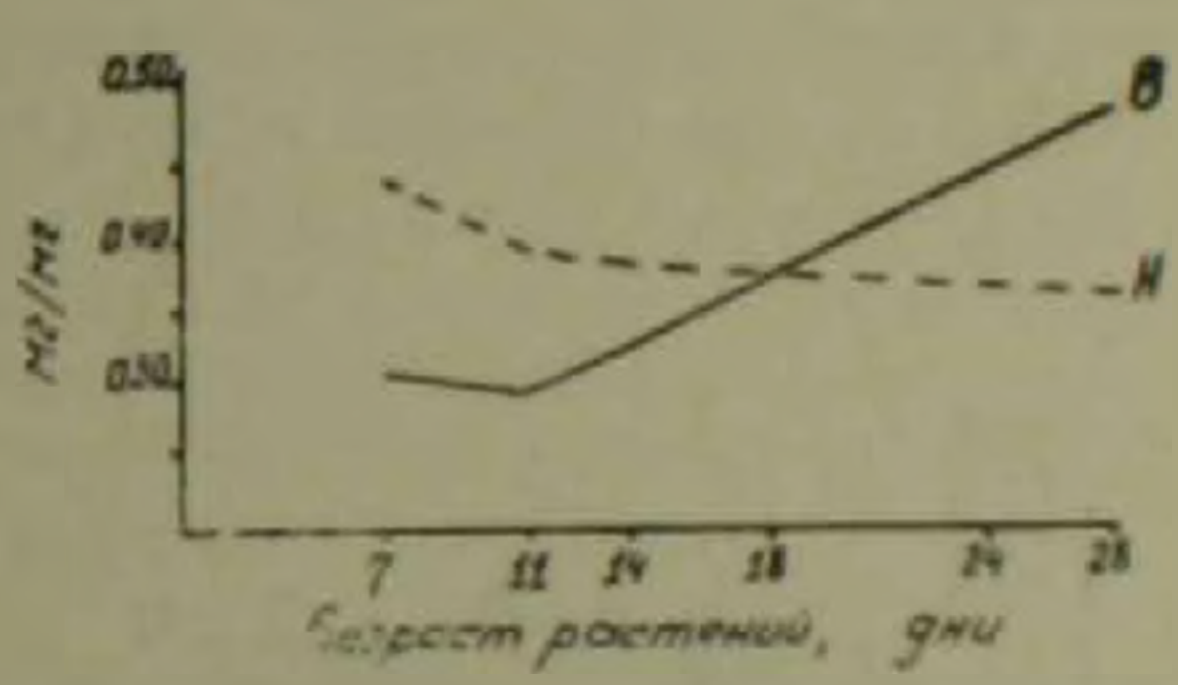
В отношении прироста сухого вещества надземных органов и корней были получены примерно аналогичные данные (рис. 2). Сухой вес корней инзкорослых индивидов был выше, чем подземной части высокорослых растений лишь до 14-дневного возраста (А). После этого постепенно превалировала масса подземных органов высокорослых индивидов и эта разпица с возрастом растений увеличивается. Идентичная тенденция наблюдалась и в отношении сухой массы надземных органов опытных растений (Б). Разница выражалась лишь в том, что преобладание массы надземных органов на ранней фазе развития (до 14-дневного возраста) инзкорослых растений над таковой высокорослых индивидов выражалась весьма незначительно. В 35-дневном возрасте разница в сухом весе корней высоко- и низкорослых сортов составляла 40 мг, тогда как разница в отношении надземных органов оказалась 160 мг.

Таким образом, из этих данных следует, что одной из внутренних физиологических причин интенсивного роста высохорослых кукурузы является повышенная корнеобеспеченность. Это положение более наглядно подтверждается при учете массы корне листового отношения растений (рис. 3).

Как показывают приведенные кривые, хотя всегда у обенх форм растений масса надземных органов превалирует над сухны



корней, тем не менее наблюдается существенная разница в отношенин изменчивости соотношения веса корней и листьев. У высокорослого сорта, начиная с 11-диевного возраста, ростепенно нарастает величина массы корне-листового отношения, тогда как у низкорослых индивидов с этого первода очень плавно, но непрерывно она уменьшается. Из



(4) и надземных частей (Б) высокорос и массе апсумев высокорослого (В) и якилого (В) и инакорослого (Н) сортов кукурузы

Рис. 2. Кривые роста сухого веса корией Рис 3. Изменение отнашения массы изочна впрослого (Н) сортов кукурузы

этого следует, что высокорослость, т. е. повышенная активность вегетативного роста кукурузы имеретинского гибрида обусловливается не прерывным увеличением массы корней, обеспечивающих падземные органы минеральными веществами, водой и разнообразными метаболитами. У низкорослой кукурузы, рисовая 643, наоборот, с ранних пернодов онтогенеза рост корней отстает. Это обстоятельство подтверждает ранее установленное положение о том, что энергия роста и физиологическая активность надземных органов растений обуславливаются неличиной их корнеобеспеченности ("), что является одной из внутренних причин проявления высокорослости.

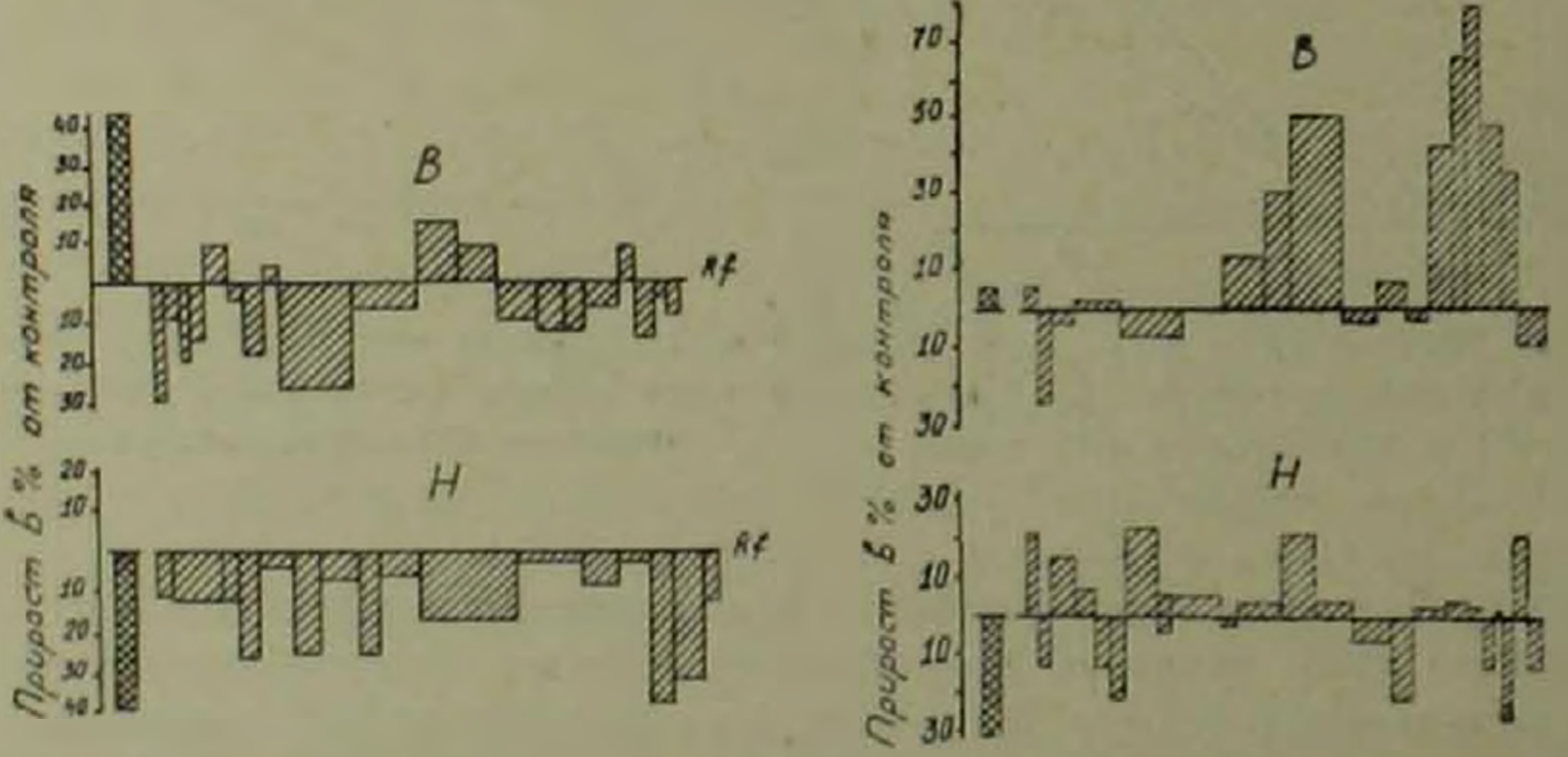
Следует полягать, что высокая корисобеспеченность растення водных культур сочетается также с повышенной поглотительной и метаболической функциями корней. Иначе не наблюдалось бы столь энергичного развития надземных органов у высокорослой кукурузы

Одинм из существенных внутренних факторов роста являются энтогенные регуляторы (стимуляторы и ингибяторы), которые интенсивно

синтезируются растущими органами и регулируют активность роста полярно расположенных органов (1-1), чем и обеспечивается саморегулирование массы последних. В этом аспекте для объяснения причины различия в росте опытных растений представляет существенное значение определение содержания эндогенных ауксинов и ингибиторов в корнях и листьях методом Кефеки и Турецкой (13)

Гистограмма физиологически активных соединении корней (рис. 4) наглядно показывает, что у высокорослых сортов корни синтезируют главным образом стимуляторы роста, количество которых сравнительно больше. Ингибирующих рост веществ гораздо меньше как в отношении числа их компонентов, так и общего содержания. У корней низкорослых сортов обнаруживается иная картина, Хотя число компонентов, стимулирующих рост не изменяется, их общее содержание намного меньше. В отличие от этого увеличивается число и содержание ингибирующих рост веществ.

Совершенно иная картина обнаружена в экстрактах надземных органов высокорослого и низкорослого сортов кукурузы высокорослого сорта по сравнению с низкорослым количество ауксинов больше, тогда как ингибирующих веществ оказалось намного больше в экстракте надземных органов инзкорослого сорта.



ных веществ экстрактов корней высокорос- ных веществ листьев высокорослого (В) и лого (В) и низкирослого (Н) сартов ку курузы

Рис. 4. Гистограмма физиологически актив- Рис. 5. Гистограмма физиологически активнизкорослого (Н) сортов кукурузы

Если исходить из положения о том, что энергия роста тех или нных органов определяется непосредственным соотношением стимуляторов и ингибиторов роста, то существенно облегчается природы высоко- или низкорослости различных сортов растений.

Как мы видим из приведенных гистограмм, в кориях карликового сорта почти не обнаружено ауксиноподобных веществ и выявленные физиологически активные вещества имели в основном ингибирующее действие. У высокорослого сорта, наоборот, наряду с ингибиторами

обнаружено несколько компонентов с сильно стимулирующим рост лействием. В листьях же высокорослых индивидов обнаружены в основном стимулирующие рост вещества, а у карликов, наоборот—сильно ингибирующие вещества.

В корнях и надземных органах растений синтезируются также и другие метаболиты и структурные компоненты клеток, которые столь же ответственны в определении энергии роста. Так, например, исследованиями Ситника и Мусатенко (14) показано, что высокорослые сорта отличаются большим содержанием нукленновых кислот. С другой стороны, показано, что активность синтеза нукленновых кислот и белков (а) в надземных органах определяется мощностью и метаболической деятельностью корневой системы растений. Следовательно, мы вправе допустить, что кории высокорослых сортов отличаются и активным синтезом белков, аминокислот, нукленновых кислот, ферментов и других метаболитов, способствующих повышению общей жизнедеятельности растений.

Обобщая полученные данные по сравнительному исследованию энергии роста надземных органов и корней, а также содержанию ауксинов и ингибиторов в указанных органах высокорослого и карликового сортов кукурузы, мы вправе констатировать, что одним из основных внутренних факторов высокорослости растений является более высокая представленность корневой системы и повышенная ее метаболическая деятельность, обеспечивающая энергичный синтез стимулирующих рост веществ. Активный синтез подобных веществ характерен также для листьев высокорослых сортов.

Ботапический институт Академии наук Армянской ССР

Հայկական ՍՍՀ ԳԱ բղթակից-անդամ Վ. Հ. ՂԱԶԱՐՑԱՆ, Ա. Ա. ԳԱՍԳԱՐՅԱՆ, Ա. Հ. ԱԲՐԱՀԱՄՅԱՆ

հգիպտացո**ւենի ցածւահասակ և բաւ**ձւահասակ սուտեւի անման մի քանի առանձնահատկությունների մասին

քույսերի աձման տեմպը, բացի արտաքին գործոններից, որոշվում են նաև նրանց գենետիկական առանձնահատկություններով, որոնց օնտոգենետիկական կան իրականացումը կապված է մորֆո-ֆիզիոլոդիական որոշակի դրսնորման հետ։ Այս տեսանկյունով պետք է ենթադրել, որ աձման էներգիան կապված է առաջին հերքին արմատային սիստեմի զարգացման և կենսագործունեու. Թյան հետ։ Այս ուղղությամբ կատարված փորձերը ցույց են տվել, որ ոնտոդների վաղ շրջանում թարձրահասակ սորտերի արմատները ցուցաբերում են ավելի դանդաղ աձ։ Հետագայում արմատների աձն զգալի չափով ակտիվախում է, որը և նպաստում է ցողունի աձման ուժեղացմանը։ Այդ երկու սորտերի միջև ավելի ցայտուն տարբերություններ են ստացվում արմատատերևային

մասաների հարաբերության տեսակետից։ Բարձրահասակ սորտերի մոտ 11 օրական հասակից սկսած արմատատերևային հարաբերությունը սկսում է աձել, մինչդեռ ցածրահասակ սորտերի մոտ, ընդհակառակը, նշված ցուցա. նիշը փոքրանում է։

Հետաքրքրական է նաև այն հանգամանքը, որ բարձրահասակ սորտերի արմատներն ավելի չատ սինթեզում են աճման խթանիչներ, քան ինհիրիտորներ, որը և նպաստում է վերերկրյա օրգանների աճման ինտենսիվացման։

Ստացված տվյալները ցույց են տալիս, որ եդիպտացորենի բարձրահաւ սակ սորտերի հիմնական առանձնահատկություններից մեկը, դա նրանց բարձր արմատաապահովվածությունն է, արմատների ակտիվ կլանող ու նյու բարձրականային ֆունկցիան, ինչպոս և աճման սիմուլատորների ինտենսիվ սինթեզը։

ЛИТЕРАТУРА — ЪРЦЬЦЪПЬРВПЬЪ

1 Д. А. Сабинии. О значении корневой системы в жизнедентельности растений. Тимирязевские чтения. 9, 1949. ² Л. С. Литвинов, Известия биол. научно-исслед. Инта Пермского Гос. Унтв. 5, 1927. ³ Н. Г. Потолов. О. Н. Соловьева и Н. И. Иванченко, Тр. Комиссии по пригвини АН СССР, вып. 8, № 1, 1955. ⁴ А. Л. Курсанов. Изв. АН СССР, сер биол. № 6, 1957. ³ А. Л. Курсанов, Взаимосвязь физиологических процессов растений, Тимирязевские чтения, 20, 1960. ⁶ В. О. Казарян, Старение высших растений, Изд. «Наука», 1969. ⁷ В. О. Казарян, В. А. Давтян. «Биол. журнал Армении». 19, 1 (1966). ⁸ В. Т. Васько, Вопросы селекции с.-х. культур, Л., 1965. ⁸ В. И. Кандаулов. А. В. Нефедов, Вестинк с.-х. наук, № 10, Алма-Ата, 1965. ¹⁰ О. В. Юрина, «Селекция и семеноводство», № 6, 1969. ¹¹ А. Леопольд, Рост и развитие растений, Изд. «Мир», 1968. ¹² О. Н. Кулаева, Цитокивниш, их структура и функция, Изд. «Наука», 1973. ¹³ В. И. Кефели, Р. Х. Турецкая, Методы определения регуляторов роста и ингибиторов, М., 1966. ¹⁴ К. М. Ситник, А. С. Муситенко, «Укр. Бот. журнал», 20, 3, 1963.

PՈՎԱՆԳԱԿՈՒԹՑՈՒՆ LVIII ՀԱՏՈՐԻ

THE POTESTAL	• •
Լ. Ա. Շանինյան <i>—Հաարի չարբերի Աբելի եղա</i> նակով + « «անրագումարելիության	
Juuph	3
է. Մ. Պողոսյան <i>— Լ-Ինդակտարհերը և նրանց որոշ հատկությունները</i> .	10
է. Ա. Միողախանյան <i>– Հարաբերական անվերջ չափանի հոմոտոպիկ խմբեր</i>	15
Վ. Ա. Բեգլաբյան <i>—Քվազիխմբի եղինալը</i>	129
Կ. Դ. Վալենվ, Ի. Ռ. Կառդանյան <i>—Սերացանայա ֆունկցիաների տեսության մի</i>	
<i>(Նորեմի կիրառելիության մասին</i>	135
Վ. Ի Թաիբյան, Գ. Հ. հայատբյան <i>—Կամայական հրկարության ցիկլիկ</i> Ինչ-կոց <i>երի</i>	
H-opphonubliph opagnishi	
Վ. Կ. Սճանյան—Հարթության՝ երկու գույնով մարկովյան պատասական դունավոր.	
ման վերարերյալ	193
Գ. է. Մելիք-Աղամյան <i>— Առանցթի վրա որոշված կանոնական զիֆերենցիալ</i> Հավա-	
սարման Տ-մատրիցի հատկությունների մասին	199
ՄՈ ԵԱՆԻԿԱ	
Վ. Վ. Միքայիլյան—Առաձգական վերադիրներով ուզղանկյան ձգման մի խեդրի	
wwipt	221
thus curbent that	
Դ, է, Աբեշյան <i>— Բաբախող Հոսանթով միաֆաղ ինդուկտորայի</i> ն գեներատորների	
(տյունացված պրոցնաների արոսւթյունը	257
แหนยหนุงแบกคอนบ รบบกคอกคบ	
II, Գ. Սաճակյան <i>— Առաձգական կիսատարաձության մակձրևույթի չկայու</i> նացված	
յարժման մասին	6.7
2144 P B T P	
II, II, Որբադեղյան, Ա. Մ. Գասպաբյան, Ռ. Ե. Հակորյան— <i>էրլիֆտի աշխատանքի</i>	
`կարագրությունը և հայվարկը	7.2
ինտինչնիկցիչ, ՍԱՑՍՄՈԼՈԴԻԱ	
11 O Dayman and Ill will was sand a day do add a barren and a family and	
Ա. Գ. Ծազատով— <i>Սեյսմիկ սահղղակից Հրաժարվելու հղատականարմարութ</i> յան	28
է, ի, հայիլան, Հ. Կ. Պողոսյան, Վ. Ա. Ջաքաշյան—1973 <i>թ. Հունիսի 16-ի Դրնահի</i>	
	32
րերաշանգի իրգրրեսությողանափարար գրևաւգունյար անմեսբերև	100
31.914th	
ի, Մ. Լիֆյից, Կ. Ա. Վաշղանյան <i>–Ոլ իդեալական ցանցային սիստեժների</i>	
ւ, ը, զոգայից, պատկասյաս—ոչ իզո—ը-գու ցուցությունը «Հանտային տեսությունը	80
Ա. Հ. Մելիքյան, Ս. Հ. Սանակյան <i>— Փոխազգող ատոմենրի սիստեմե ինտենսիվ</i>	
լույսային ալիթի դաչտում	80
արարա ալրքը դաչատ,ս	. 3 9
	3019

եւ եւ Դորգույան— ներբին լարումների լափումը տուբինի ձողիկներում ։ Դ. Մ Ավադյանց, Ա. Դ Դոլմաղյան – Արձաթի խառնուրդ պարունակող սիլիցիու-
մից պատրաստված 5-գիոցների դինամիկ թնութագրերը
-ունվացնրիսուց
եւ Ս. Բաղդասաբով, Ա. Գ Պետբոսյան <i>Լուտեցիում-ալյումիեումային զբանատի</i>
արճեստական ժիաբյուրեզների առանձնածատկությունները
Կոստանյան, Վ. Ֆ. Կուպբիչով, Մ. Լ. Տեւ-Միքայելյան—LilO ₃ բյուրեղների ուսումնա.
արրությունը և Կերևության և հատարան հատկարարերի և և Կերևության և հատարան հատկարարերի հատարարերի
ե. Մ. Ավազյանց, Հ. Հ. Ջեռեջյան, Հ. Ս. Վառայան <i>– Քազմատրանդիստորային</i> անալոգիայի տեսության վերաբերյալ
Վ. Պ. Պետուսյան, Ու. Բուպելտ <i>— Ներբիև ճելումը պոլիմերևերում</i>
Ս. Ա. Աղաբալյան, Ա. Գ. Գալևչյան, Ս. Ի. Պետոոսյան <i>— Ստրատները Դելիումի և։</i> Հայնական Հասանրում սեզմված գրական ոլան տիրույթում
ԳԵՈՖԻԶԻԿԱ
Ռ. Հ. Ավետիսյան—Գեոֆիզիկական մի բանի մեծությունների կոռելյացիայի մա-
υ/h
անորդանական Քիսլիա
Գ. Ե. Շապունիկովա, Ն. Գ. Գալիայան <i>—Ոսկու (III) և ցիստեինի փոխազդեցու-</i>
Քյան ռևակցիայի ուսումնասիրությունը
երենրում իոնային անցումների մոդելը
ԾԻԴԱՆԱԿԱՆ ՔԻ Մ ԻԱ
Ա. Բ. Բաբայան, Կ. Ծ. Թանմազյան, Ռ. Ս. Մկոտչյան— <i>3-օրսի (մերկապառ) իզո-</i>
ինդոլինումական աղևրի ստացման նոր ուզի Ա. Ոաբայան, II. Տ. Քոչաբյան, II. Մ. Օճանջանյան—Ստիվենալան վերաիւըմբա-
վորումը կարթալկոցսիմնքիլ խմբի մասնակցությամբ
րունակող ենամոնիակային աղերի վերախմբավորման-ձեղքման ռեակցիայի մեխանիզմի
The state of the second of the second state of
Դ. Ժ. Մասաիսույան, Հ. Ց, Ղազաբյան, Լ. Վ. Հաստաթյան, Ս. Օ. Միսաշյան— - Կեղակալված պիրոլիդինների առաջացման նոր ուղի
Ա. Թ. Բաբայան, Կ. Ծ. Թանմազյան, Ա. Ի. Իսֆֆև, Ռ. Ս. Մկոտչյան, Գ. Հ.
Թուսոսյան—Դիալկիլալլիլ (կամ պրոպարդիլ) 2,4-պենտադիննիլ (կամ a-ֆուրիլմն
իիլ) ամոնիումական աղերի ներմոլեկուլային օղակավորման մեխանիզմը . Բ. Ջ. Գեվուզյան, Վ. Տ. Ալեքոունյան— Ցածր ջերմաստիձանում որսիդային օդակ-
1 երի հետ ժոլեկուլային թլորի կոժպլերսների առաջացումը
บคุณหมากคราม
Վ Ռ Սեյբանյան, հ. Գ. Պավլով <i>– Պիրիտի գլորուլիտների ձազժան ժասի</i> ն
Վ Ռ ՍԵյբանյան, Ե. Գ. Պավլով — Պիրիտի գլորուլիտների ձազժան ժասին IL II, II. Ավազյան — էնդոցեն նզրապսակներում թիժիական տարրերի պարունակու- Ոյան գրագիննաի Հայվարկժան ժասին
Վ Ո Սեյբանյան, հ. Դ. Պավլով—Պիրիտի գլորուլիտների ձազման մասին IL IL, ILվազյան— Էնդոցնն նզրապսակներում թիմիական տարրերի պարունակու- Ոյան գրադիննտի ճաչվարկման մասին
Վ Ռ ՍԵյբանյան, Ե. Գ. Պավլով — Պիրիտի գլորուլիտների ձազժան ժասին IL II, II. Ավազյան — էնդոցեն նզրապսակներում թիժիական տարրերի պարունակու- Ոյան գրագիննաի Հայվարկժան ժասին
վ Ռ ՍԵյբանյան, Դ. Գ. Պավլով — Պիրիաի գլորույիտների ձազման մասին IL IL, ILվազյան — Հնդոցեն նգրապատկներում թիմիական տարրերի պարունակու- Բյան գրադիձնտի հայվարկման մասին
Վ Ռ ՍԵյբանյան, Ե. Գ. Պավլով — Պիրիտի գլորուլիտննրի ձազման մասին Ա Ա, Ավազյան — Հնդոցնն նզրապաններում թիմիական տարրերի պարունակու- Բյան գրադիձնաի հայվարկման մասին Ե. Խ. Խաբազյան — Սնանա լճի արևմտլան ափնրի դոլերիտային բազալտննրի հայտնարհրման մասին Եսորերման մասին Ե. Ա. Մանդալյան, Վ. Ա. Աղամալյան — ՀՍՍՀ հլուսիսային մասի վերին յուրայի

46B46U6U

է. II, հասարյան — Փոթրկովկասյան բորատար-հազվացյուտ ալկալիական ժետաղա	
լին ա հիւաթթվային ջրերի մարդի անջատումը	115
է. Ս. Խալաթյան—Նոր տվյալներ Մհրձարաթսյան գոտու <i>Բերմալ և մասի</i> ն .	176
Դ. Բ. Մեժլումյան <i>– Սակերի դոչ հանրավայրի երկաքի հանրանյութերում կորալ</i> -	
ատրեր պիրիտների «այտնարերման մասին	224
ով. II. Մկոտչյան— Որոշ պատկերացումներ նիդրոքերմալ սինքեզի մեքաղավ ստադ- ամ սֆալերիտներում կապարի առկալուքյան ձևի մասին	(14)
	. 9 u
րջ <u>Արևերի Ֆոի Ն</u>	
և. Ֆ. Պավլով, է. Մ Որևոլյանդ <i>Միջսորտային խալման ազդեցությունը սերևդի</i>	
բլիջների անման բնույքի վրա Հյուսվածքային կուլտուրաներում	
TOTAL SPAIL	i
Վ. Ա. Ավազյան, Ա. Հ. Մոււադյան <i>– Ցորենի պոլիպլոից այլի ռադիացիո</i> ն վնաս-	
վածրի մողիֆիկացումը կոֆևիևով	291
the truth of the Party of the Control of the Contro	
է, Գ. Աֆբիկյան—Bac. mycordes <i>թակահրիաների մորֆոլոգիական ինվերսիայի</i>	
րեույթի ալտուժետաիրությունը ականային էլեկտրոնային ժիկրոսկապի օգնությամբ	179
	-
Picil Profession Commence of the Commence of t	
at 9 to 1 to 1 to 1 to 1 to 2 to 2 to 2 to 2	
Վ. Ց. Հայկազյան, Ռ. Մ. Նալբանդյան—Cortolus versicolor-ից ստացված Բ լա- կաղայի արգելակումը սուրստրատի բարձր կոնցննտրացիաննրով և թլորի իոննձրով	118
Ա. Ա. Գալոյան, Ս. Ս. Ալեքսանյան <i>– Սրտում և այլ օրգաններում պիրոխազողա</i> -	
ppվի, կանևաննվի և կետոգլուտարանիվի քանակի փոփոխությունը նեյրուորմոն և ի	
աղդեցու (այրելան և ևրթո	183
Ժ. II. Գևուգյան, IL II. Հովհաննիսյան <i>— Սպիտակ առևտևերի երիկամների կեղե</i> -	
լային չնրտում օրնիտինի դեամինացման ւարցի չուրջը	229
են, Ա. Գալոյան, Ռ. Հ. Կառապետյան, Վ. Ս. Սաֆառյան— <i>Թիրեռտրոպին տիլիզին</i> գ	
արժոնի (ՔՌՀ) ազդեցությունն օբսիդացիոն ֆոսֆորիլացժան վրա սրտի, հիպոթալա-	220
ժուսի, երիկաժների և լարդի միտոթոնդրիաներում	236
weengerreu.	Se 1"
	-
ր, հ. Ոիմոնյան, հ. Շ. Գալստյան—Հողերի էրոզիացվածության աստիճանի որ	44
լումը ֆերմենտների ակտիվու#յամբ	-
Recordendurentumesare	
II. II. Մկրաչյան, Շ. Ա. Արուստամյան — Հացանատիկային կուլտուրաների բերքա-	
ավության երկարաժամկետ կանխորոշման մեթողը Հայկական IIIIՀ պայմաններում .	
ինչերերը Ֆ իջլինվնդե Ա Ն	
վ, Հ, Ղազաբյան, Լ. Ա. Մնացականյան—Քույսերի տերեներում ամիաջրատների	
արունակության օրվա փոփոխության վրա ձազկահատման ազդեցության հարցի մասին	188
վ. Հ. Վազաբյան, Ա. Ա. Գասպաբյան, Ա. Հ. Արբանավյան—հգիպտացորենի	
լածիաշտոտի ը հանցևաշտոտի ոսևաբևի ազդար դի հարկ աստրգրուտակուճյուչբբեկ	202
dwaph	103
ชาวุนธนานงกระสกรง	
(I, IL Վաբոիկյան <i>— Երկրայափ Քիքեոների երկու նոր տեսակ Հայաստանի</i> ց	
	48
(Lepidoptera, Geometridae) · · · · · · · · · · · · · · · · · · ·	
	311

Ս. Մ. Ֆարլոկով-Խնձույան <i>— Կարձրաթև- չրիվանենրի հոր սեռ և տեսակ Հայաշտա</i> -
E/19
II. II. Ցաբլոկով-Խնձույան <i>— Կարծրաքն-ընդակերների նոր տեսակներ ՍՍՀՄ-ի</i> ց
Վ. Ա. Ռիխտեր — Տախինների (Diptera, Tachinidae) նոր տեսակներ Կովկասի
\$wastungard
b. Կ. Հերրեցյան, Վ. Ա. Տոյապիցին—հղեգի՝ Phragmites australis (Cav.) վրա
ապրոզ կոկցիղենրի պարակիտ (եցիրտիցենրը Հայաստահում
นานากเกาะน
է. II. Հաբությունյան—Phytoseiidae Bett ընտանիրի տզերի նոր սեռ և նոր տեսակ
է. Ա. Հաբությունյան—Նու տեսակ Podocinium Berlese, 1882 անոխը (Mesosti-
ginata, Podocinidae) · · · · · · · · · · · · · · · · · · ·
2020 ALICANIA
Հ. Գ. Գեմիոչօդլյան <i>— Թուունների այլի հատակի դիտման նոր մենո</i> դ

СОДЕРЖАНИЕ LVIII ТОМА

математика	Ctp.
Л А. Шагинян—О суммируемости рядов по системе Хаара к→ смето- тодом Абеля Э. М: Погосян—1-Индукторы и некоторые их свойства Э. А. Мирзаханян—Относительные бесконечномерные гомотопические группы. В Л. Бегларян—Единалы квазигруппы К. Г. Валеев, И. Р. Карганян—О применимости одной теоремы неявных	3 10 15 129
функций	135
дов произвольной длины	193
П. Э Мелик-Адамян—О свойствах S-матрицы канонических дифференци- вльных уравнений на всей оси	199
МЕХАНИКА	
В. В. Микаелян—Об одной задаче растяжения прямоугольника с упругнын пакладками	21
ЭЛЕКТРОМЕХАНИКА	
Г. Л. Арешян—Теория установившихся процессов однофазных индуктор- ных генераторов с пульсирующим потоком	257
теория упругости	
С. Г. Саикян—О пеустановившемся движении поверхности упругого полу-	65
ПДРОДИНАМИКА	
С. Е. Сирадееян, А. М. Гаспарян, Р. Е. Аколяк—Краткое описание работы эрлифта и его расчет	72
ІІНЖЕНЕРНАЯ СЕЯСМОЛОГИЯ	
ANGMON	28
Э. Е. Хачиян, О. К. Погосян, В. 1. Закарян—Результаты инженерно-сейсмо- метрического анализа Ереванского землетрясения 16 июня 1974 года	32
ФИЗИКА	77
И. М. Лифшиц, Г. А Вартанян—Квантован теорня нендеальных решеточ- ных систем	80
интенсивной световой полны	86 90
	313

Г. И Авакиянц. С. Г. Долмазян-Динамические характеристики S-диодов
на основе креминя с примесью серебра
Г С Каранн А. А Джереджян—Лавинное умножение в многослонных
структурах
х. С Бигдасиров, Л. Г. Петросян—Особенности расилавных монокристаллов
литеций-алюминивевого граната
танян, В Ф Купришов, М. Л. Тер-Микаелян—Исследование кристаллов LilO _a 11 I М. Авакоянц, А А Джереджян, Г С Кариян—К теории многотранзис-
торион анялогии
С 1 Агибилян, Г А. Галечян, С. И. Петросян—Страты в контрагиронан-
пом положительном столое в продольном потоке гелия
TOTAL HOLINANTICII DIOSA CTORIOC D'INPORTONIA NOTONIC TOTALI
ГЕОФИЗИКА
Р 1 Аветисян—О корреляции некоторых гоофизических величии
неорганическая химия
I Н Шапошникова, Н Г Галфаян—Неследование реакции изаимодейстиня
золота (III) с цистенном
В. П. Петросян, А. В. Джанбирянц, С. П. Петросян-Модель новных перехо-
дов в неорганических стеклах
органическая химия
4 Т Бабаян, К. Ц Тагмазян, Р С Мкртчян—Новый путь сиптеза солей 5-ок-
си (меркапто) изонидолиния
А Т Бибаян, С. Г. Кочарян, С. М. Оганджинян-Перегруппировка Стивенса
е участием карбалкоксиметильной группы
А. Т. Бабаян, Дж. В. Григорян, Р. Б. Минасян—О механизме перегруппи-
рорки-расщепления епаммониевых солен, содержащих да-непредельную группу. 16
Г. Т. Миртиросян, А. Ц. Кизирян, Л. В. Асратян, С. О. Мисарян—Новый путь
образования замещенных пиррлидинов
А. Т. Бабиян, К. Ц. Тагмазян, А. И. Иоффе, Р. С. Мкртиян, Г. О. Горосян
К механизму внутримолекулярной циклизации бромаллилатов и пропартилатов
дналкил-2,4-пентадиенил (2-фурилметил) аминов
Б З Геворкян, В Т Алексанян—Образованне комплексов окисных циклов
с молекулярным хлором при низких температурах
ГЕОЛОГИЯ
В Б Сепранян, Е Г Павлов—О тенезисе глобулитов пирита
1 1 Лоикин—К расчету граднента концентрации элементов и эндогенных
ореолах
Э Х Хиризян—Об обнаружении долеритовых базальтов на западном
побережье озера Севан
Р А. Мандалян, В. А. Агамалян—О спилитах из верхнеюрских отложений
северной части Армянской ССР
ПЕТРОГРАФИЯ
Р. А. Хоренян — К геологии Гехаротского интрузива — — — 28
ГЕОХИМИЯ
4 C Valaray Bring much Management Sanggara and Annagement
Э С Хилатян Выделение Малокавкавской бороносно-редкощелочно-мет льной прошинции углекислых вод ,
Э С Халатин—Новые сведення о термальных водах Приараксинской юны
приприменним содения от гримним подих тримрименним
714

Г. Б. Межлумян—Об обнаружения кобальтоносных пиритов в железных рудах месторождения Цакери-дош	
сфалерите, полученном методом гидротермального синтеза	290
цитология	
Е Ф Павлов, Л М.Оберлянд—Влияние межпородных скрещиваний на ха- рактер роста клеток потомства в тканеных культурах.	10
ГЕНЕТИКА	
В 1 1 макян, А. А. Мурадян—Моднфикация лучевого поражения полиплонд- ного ряда ишеницы—кофенном	294
микробиодогия	
Э К Африкин—О природе морфологической пиверсии Bac, mycoides по данным сканирующей электронной микроскопии	179
внохимия	
В. Ц. Айказян, Р. М. Налбандян—Пягибированные лакказы Б из Coriolus versicolor высокими концентрациями субстрата и иснами хлора • • • •	118
1. А. Галоян, С. С. Алексанян—Сдвиги в содержании пирувата и кетоглю- трт в сердце и других органах под влиянием нейрогормона «С»	183
Ж. С. Геворкян, Л. С. Огинесян—К вопросу днаминирования оринтива в	
Апрковом слое почек белых крыс	229
иноталамуса, почек и печени	230
ALPOXHMIM	
Б. Н. Симонян, А. III Галстян—Определение степени эродированности почв по активности ферментов	44
АГРОМЕТЕОРОЛОГИЯ	
Р. С. Мкртчян, Ш. А. Арустамян—Метод долгосрочного прогноза урожай- пости зерновых культур в Армянской ССР	299
. ФИЗНОЛОГИЯ РАСТЕНИЯ	
В О Казарян, Л. А Мнацаканян—К вопросу о влиянии дефлорации на суточную динамику содержания углеводов в листьях растений. В О Казарян, А. Гаспарян, А. Г. Абрамян—О некоторых особенностях	188
раста высокорослого и инзкорослого сортов кукурузы	303
ЭНТОМОЛОГИЯ	
С. А. Вардикин — Два новых вида пядениц из Армении (Lepidoptera, Geo-	48
metridae)	40
Армении (Colcoptera, Elateridae)	52
(Coleoptera, Bruchtdae) · · · · · · · · · · · · · · · · · · ·	123 242
Е. К. Эртенцин, В. А. Тряпицин—К познанию энциртид (Hymonopteta,	
Encyrtidae) паразитов кокцид тростинка Phragmilles australis (Cav.) в Армении	218

АКАРООЛГИЯ

Э. С Арутюнин-Новын	род и но	вый вид ка	ещей сев	reilcTB3	Phytoseldae	
Berlese (Parasitiformes) • Э. С. Арутюнян Новый						
Podocinidae) · · · ·						
ФИЗНОЛОГИЯ						
Г Г Демирчоглян—Новы	А способ	просмотра	глазного	дна птис	1	60

CONTENTS

MATHEMATICS	
L. A. Shahinjan—On summability of Haar series $k + \infty$ by Abel method E. M. Pogossian—1-inductors and some of their properties. E. A. Mirzakhanian—Relative infinite-dimensional homotopic groups. V. A. Begiarian—Edinal of quasigroups. K. G. Valeev, I. R. Karganian—The applicability of a theorem of the theory of implicit functions. W. I. Tairian, G. G. Khachatrian—On the definition of H-orbit cyclic FG-codes of arbitrary length. V. K. Ohanian—About the random Markovian colouring of the plane with two colours. P. E. Melik-Adamian—On the properties of S-matrices of canonical differential equations on the entire axis.	10
MECHANICS	
W. W. Mickaelian—On the problem of tension of a rectangle with elastic stiffeners	21
ELECTROMECHANICS	
G. L. Areshian—Theory of the stated pocesses of uniphase pulsating-field inductor generators • • • • • • • • • • • • • • • • • • •	257
THEORY OF FLASTICITY	
S (1. Sahakian—About the unsteady motion of the surface of an elastic half space • • • • • • • • • • • • • • • • • • •	65
HYDRODYNAMICS	
S. Y. Siradeghian, A. M. Gasparian, R. Y. Hukopian—A short description of the work of an atrifft and it's calculation • • • • • • • • • • • • • • • • • • •	72
NGINEERING SE ISMOLOGY	
A. G. Nazarov—About the possibility of rejecting the seismic scale. E. Y. Khatchian. O. K. Pogossian. V. A. Zakarian—Results of engineering- seismological analysis of the 16th of June 1973 Yerevan earthquake.	28 32
PHYSICS	
I. M. Lifshits, G. A. Vardanian — Quantum theory of nonideal lattice systems A. H. Melickian, S. H. Sahakian — The system of interacting atoms in an intense electromagnetic field • • • • • • • • • • • • • • • • • • •	80 86
A. Ch. Grigorian-Measurements of Internal strains of ruby rods	90
G. M. Avaktants, S. G. Dolmazian—Dynamical characteristics of S-diodes made on silicon doped with silver	145

11. S. Karayan, H. H. Jerejian—The avalanche multiplication in multi-	
Kh. S. Bagdasarov, A. G. Petrasyan—Melt Growth and Properties of	151
Latettum Aluminum Garnet Single Crystals	157
R. G. Agababian, R. N. Balasanian, E. S. Vartanian, R. N. Gyuzalian,	
R. B. Kostanian, V. F. Kuprishov, M. L. Ter-Mikaelian—An Investigation of Lilo, grystals	161
G. M. Avakiants, H. S. Karayan, H.H. Jerejtan—On the theory of multi-	
transistor analog • • • • • • • • • • • • • • • • • • •	206
V. P. Petrosian. W. Ruppelt—About interior pressure in polymers • • • S. A. Agababian, G. A. Galechian, S. I. Petrosian—Stratification of the	267
constricted position column in the longitudinal helium flow	271
GEOPHYSICS	
R. A. Avetisian—On the correlation of geophysical data · · · ·	94
INORGANIC CHEMISTRY	
G. N Shaposhnicova. N. G. Galphayan -Investigation of reaction between	
gold (III) and cystein · · · · · · · · · · · · · · · · · · ·	165
Model for Inorganic Glasses • • • • • • • • • • • • • • • • • •	212
ORGANIC CHEMISTRY	
A. T. Babayan, K. C. Tuhmazian, P. S. Migirdichian-A New Method of	-74
Synthesis of 5-oxy (mercapto) isolndolinium Salts • • • • • • • • • • • • • • • • • • •	38
ment in which carbalkoxymethyl group takes part	100
A. T. Babayan, D. V. Grigoryan, R. B. Minasian—About mechanism of	
the rearrangement-cleavage of the enammonium salts, containing \$, 7-unsaturated group	169
G. T. Martirossian, E. Ts. Kazarlan, L. V. Hasratian, S. V. Missarian	
A new method of formation of pyrrolydine derivatives	216
A. T. Babaian, K. Tz. Tahmazian, A. I. loffe, R. S. Mkrtchian, Q.O. To- rosian—The mechanism of the intramolecular cyclication of the bromalilate and	
propargilates dialctl 2,4-pentadienyl (a-furylmetyl) anines -	275
B. Z. Gevorkian. V. T. Aleksanian - The formation of complexes of oxygen-	non
containing cyclic compounds with the molecular chlorine at low temperatures	280
GEOLOGY	
V. B. Seiranian, E. G. Paulov—On the origin of pyritic globulities • • A. A. Avaklan—The account of the concentration gradient of the hydro-	105
thermal dispersion of the ore element • • • • • • • • • •	111
E. Kh. Kharasian - Ahout the discovery of dolerite basalts on the Western	177
R. A. Mandalian, W. A. Agamatian - Spilites from upper jurasic sedi-	173
ments of Northern Armenta • • • • • • • • • • • • • • • • • • •	219
PETROGRAPHY	
R. H. Chorenlan-On the geology of Geghatol intrusives	285
GEOCHEMISTRY	
E. S. Khalatian The separating of Minor Caucasus boron bearing rare	1
alkaline metal province of carbon dioxide waters	115

E. S. Khatatian—New information on the near Arax zone thermal waters	176
G. B Mejlumlan—On the discovery of coball-hearing pyrites in the Iron ores of the Tzakeri-dosh deposit • • • • • • • • • • • • • • • • • • •	224
Su; S. Mkrtchian—Some Ideas on the occurrence form of lead in spha- lette received by the method of hydrothemal synthesis • • • • • •	290
CITOLOGY	
E. F. Pavlov, L. M. Oberliand—Influence of crosses between strains on the character of the cell growth of the offsprings in tissue culture.	40
V. A. Avaktun. A. H. Murudian—The modification by caffeine of the radiation damage of wheat polplotp series • • • • • • • • • • • • • • • • • • •	294
MICROBIOLOGY	
E. G. Afrikian—On the nature of morphological inversion of Bac. mycoldes through electron microscopy observation • • • • • • • • • • • • • • • • • • •	179
V. Ts. Aikazian, R. M. Nalbandian—Inhibition of laccase B from cortolus versicolor by high concentration of substrate and chloride ions A. A. Galoyan S. S. Alexanian—Effect of neurohormone "C* on the content of pyruvic acid, lactic acid and ketoglutoric acid of the heart and other	118
organs of rats	183
J. S. Gevorkian, A. S. Oganessian—On deamination of ornitine in the rational cortex A. A. Guloyan, R. O. Karapetian, B. C. Safarian—The effect of thyreo-	229
chondria of the heart, hypothalamus, liver and kidneys • • • • •	236
AGROCHEMISTRY	
B. N. Simonian, A. Sh. Galstian—The determination of erodibility degree by fermentative activity of soils • • • • • • • • • • • • • • • • • • •	44
AGROMETEOROLOGY	
R. S. Mkrtchian, Sh. A. Arustamian—Method of long-term yield capacity lorecast of grain crops in Armenian SSR • • • • • • • •	299
PLANT PHYSIOLOGY	
V. H. Kazarian, L. A. Mnatsakanian — On the influence of defloration on daily dynamics of the maintenance of carbo-hydrate in the	
leaves of plants	188
V. O. Kazarian, A. A. Gasparian, A. G. Abramian—On some peculiarities of the growth of the under and oversteed sorts of matte.	303
ENTMOOLOGY	
S. A. Vardikian—Two new species of Geometridae from Armenia (Leptoplera Geometridae) S. M. lablokoff-Khnzorian—A new genus and species of Coleoptera Elatenidae from Armenia	48 52
S. M. lablokuff-Khnzurian—New species of Coleoptera Bruchidae from USSR V. A. Richter—New species of Tachinidae (Diptera) in the fauna of Caucasus	123 242

E. R. Hertheutzian. V. Tryapitzin—Studies on the encytuds (Hymo-
noptera, Encyrtidae) parasites of coccids on reeds-Phragmites australis (Cav.)
In Armenia · · · · · · · · · · · · · · · · · · ·
ACARALOGY
E. S. Arutunion-A new genus and a new species of miles of the family
Phytosetidae Berlese (Parasitiformes) · · · · · · · · ·
E. S. Arutunian New species of the genus Podocinum Berlese, 1882
(Mesostigmata: Podocinidae) · · · · · · · · · · · · 2
PHYSIOLOGY
G. G. Demirchoglian-A new method of examining of the eye fundus of
hirds

